

TECHNIKA CIEPLNA

CZASOPISMO STOWARZYSZENIA DOZORU KOTŁÓW W WARSZAWIE

OFICJALNY ORGAN POLSKIEGO KOMITETU NORMALIZACYJNEGO DLA SPRAW KOTŁOWYCH

REDAKTOR: Inż. techn. JAN KOMARNICKI

Wydawca: Stowarzyszenie Dozoru Kotłów w Warszawie.

REDAKCJA I ADMINISTRACJA: WARSZAWA, PIĘKNA 32, m. 12. TEL. 8-81-47.

GODZINY BIUROWE: REDAKCJI—PIĄTKI, OD 18 DO 20, ADMINISTRACJI—CODZIENNIE, OD 10 DO 15.

Inż. Z. KLĘBOWSKI.

WZÓR NA PRZYBLIŻONE OBLICZENIE DENKA TALE- RZOWEGO, WYKONANEGO Z BLACHY KOTŁOWEJ LUB ZE STALI LANEJ¹⁾

W niżej przytoczonym rozważaniu ma się wyłącznie na myśli cienkościenne z wymienionego wyżej materiału kulisto wypukłe denko, z obrzeżem łagodnie przechodzącym w płaski kołnierz, umocowany w taki sposób, że przy odkształceniu niema zmiany średnicy denka, jakoteż odginanie się kołnierza denka jest wykluczone. Niektóre z wielu możliwych umocowań denka odpowiadających powyższym warunkom pokazano na rys. 1, 2²⁾ i 4.

Znaczenie: D , R , s , l , r , h , α wskazano na rys. 3.

Pomiędzy h , D i R istnieją związki geometryczne.

$$h = R - \sqrt{R^2 - \frac{D^2}{4}} \quad (1)$$

$$R = \frac{h}{2} + \frac{D^2}{8h} \quad (1a)$$

$$D = 2 - \sqrt{2Rh - h^2} \quad (1b)$$

Wyrażając α w stopniach, mamy również

$$\sin \alpha = \frac{D}{2R} \quad (2)$$

$$l = \pi R \frac{2\alpha}{180} = 0,034906 \cdot R\alpha \quad (3)$$

$$l = \sqrt{D^2 + \frac{16}{3} h^2} \quad (3a)$$

Gdyby część sferyczna dna należała do naczynia całkowitego kulistego, to oznaczając przez p ciśnienie w kg/cm^2 , mielibyśmy w każdym jego punkcie w jakimkolwiek płaskim przekroju przechodzącym przez środek kuli naprężenie rozciągające:

$$\sigma = \frac{p \cdot \pi \cdot R^2}{2 \pi R s} = \frac{p R}{2 s} \quad (4)$$

Naprężenie działające na przekrój zorjentowany pod prostym kątem do omawianego, jest równe poprzedniemu co do wielkości absolutnej i znaku

$$\sigma = \frac{p R}{2 s} \quad (5)$$

Ten dwuwymiarowy stan napięcia powoduje następujące jednostkowe wydłużenie materiału obłuczyny:

$$\epsilon = \frac{\sigma}{E} - \mu \frac{\sigma}{E} = \frac{1}{E} \cdot \frac{p R}{2 s} (1 - \mu) \quad (6)$$

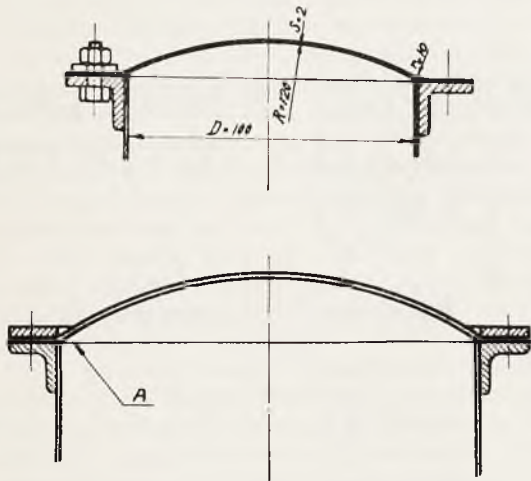
Przyjmując dla żelaza kotłowego i stali lanej $E = 2000000$ i $\mu = 0,3$ otrzymujemy;

$$\epsilon = \frac{1}{2860000} \cdot \frac{p R}{2 s} = \frac{1}{2860000} \sigma \quad (7)$$

¹⁾ Artykuł niniejszy jest wyciągiem z obszernego referatu autora.

²⁾ W przypadku pokazanym na rys. 2 należy brać w niżej podanych obliczeniach D_1 zamiast D .

Naprężenia 4 i 5 i wydłużenie jednostkowe 7 istniałyby na całej długości łuku l (rys. 3), gdyby omawiane dno sferyczne albo należało do naczycia całkowitego sferycznego, albo gdyby naczynie cylindryczne, do którego dno jest przytwierdzone tak zwiększało, pod wpływem wewnętrznego ciśnienia swą średnicę, że nie krępowałoby sferycznego denka w odkształceniu się na obrzeżu. Według założenia jednak, denko umocowane jest do sztywnego kołnierza kątownikowego (konstrukcja rys. 2 lub rys. 3) w taki sposób, iż przy odkształceniu niema zmiany średnicy denka, wobec czego denko, odkształcając się, będzie miało tendencję do przyjęcia kształtu odcinka kulistej powłoki o mniejszym promieniu R .



Rys. 1 i 2

Określając wielkość R i h denka po odkształceniu zauważymy, że o ile w pobliżu osi obrotu denka jednostkowe wydłużenie tworzącej wynosi według równości 6 i 7

$$\frac{\Delta_1 l}{l} = \frac{1}{2860000} \sigma \quad \dots \quad (8)$$

to dla obrzeża sferycznej części denka w braku odkształceń w kierunku obwodowym, dzięki istnieniu naprężenia obwodowego

$$\mu \sigma = \mu \frac{p R}{2 s}$$

odkształcenie jednostkowe tworzącej będzie

$$\frac{\Delta_2 l}{l} = \frac{1}{E} (\sigma - \mu^2 \sigma) = \frac{1}{2200000} \sigma \quad \dots \quad (9)$$

Przyjmując jako średnie odkształcenie jednostkowe tworzącej w przybliżeniu średnią arytmetyczną z dwóch poprzednich:

$$\frac{\Delta l}{l} = \frac{\Delta_1 l + \Delta_2 l}{2 l}$$

otrzymujemy

$$\frac{\Delta l}{l} = \frac{1}{2500000} \sigma = \frac{1}{2500000} \frac{p R}{2 s} \quad \dots \quad (10)$$

Długość łuku tworzącej po odkształceniu znajdujemy z równania

$$l_1 = \left(1 + \frac{\Delta l}{l}\right) l = l + \frac{l}{2500000} \sigma l \quad \dots \quad (11)$$

gdzie

$$\left(\sigma = \frac{p R}{2 s}\right)$$

Przy obliczaniu naprężenia pochodzącego od zginania na obrzeżu dna weźmiemy pod uwagę zmniejszenie kąta $(180 - \alpha)^\circ$ względnie zwiększenie kąta α dzięki odkształceniu się denka wskutek zwiększenia się długości l (tworzącej).

Wysokość denka h^1 po odkształceniu wyraża się przy pomocy wzorów 3a i 11 w sposób następujący:

$$h^1 = 0,25 \sqrt{3 \left[\left(l + \frac{\sigma}{2500000} l \right)^2 - D^2 \right]} \quad (12)$$

Podstawiając wartość h^1 z wzoru 12 zamiast h do wzoru 1a, otrzymujemy

$$R_1 = \frac{h^1}{2} + \frac{D^2}{8 h^1} \quad \dots \quad (13)$$

z wzoru 3 mamy

$$\alpha = \frac{l}{0,034906 R} \quad \dots \quad (14)$$

zaś

$$\alpha_1 = \frac{l_1}{0,034906 R_1} \quad \dots \quad (15)$$

(l_1 należy brać z równania 11)

Zwiększenie się kąta $\Delta \alpha = \alpha_1 - \alpha$ wywołuje powstanie naprężenia σ^1 od zginania dodającego się do naprężeń σ w punktach A na obrzeżu od wewnętrznej strony naczynia, rys. 2

$$\sigma^1 = E_1 \cdot \frac{\Delta \alpha}{\alpha} \cdot \frac{h_1}{\rho + h_1} \quad (16)$$

Z przeciwnej strony punktu A od zewnątrz naczynia mamy analogicznie

$$\sigma^1 = E_1 \cdot \frac{\Delta \alpha}{\alpha} \cdot \frac{h_2}{\rho - h_2}$$

odejmujące się od σ . We wzorach tych ρ nie jest odległością r pomiędzy środkiem krzywizny i środkiem przekroju prostokątnego, lecz wielkością równą

$$\rho = \frac{s}{\lg \frac{u_1}{u_2}}$$

Wielkości h_1 h_2 u_1 u_2 r ρ pokazano na rys. 5; \lg oznacza logarytm naturalny.

Wobec tego, iż przypuszczamy, że promień r (liczony od środka grubości blachy) przejścia części sferycznej do płaskiej jest duży w porównaniu z grubością blachy s , to możemy we wzorze 16 przyjąć iż

$$\rho = r \text{ i } h_1 = h_2 = \frac{s}{2}, \text{ a pomijając } h_1$$

w mianowniku wobec r otrzymujemy (jak przy belce prostej) dla rozciąganego włókna od wewnątrz naczynia w punkcie A , rys. 2.

$$\sigma^1 = E_1 \cdot \frac{\Delta \alpha}{\alpha} \cdot \frac{s}{2r} \quad (16a)$$

Pod E_1 należałoby rozumieć we wzorach 16 i 16a moduł sprężystości podzielony przez wielkości $1 - \mu^2 = 1 - 0,3^2 = 1 - 0,09 = 0,91$ uwzględniającą wpływ sąsiednich części obłuczyny, nie pozwalających na poprzeczne zmiany przy zginaniu rozciąganych włókien od wewnątrz naczynia i ściskanych od zewnątrz. Wobec czego wzór 16a możnaby przedstawić w postaci

$$\sigma^1 = E_1 \cdot \frac{E}{1 - \mu^2} \cdot \frac{\Delta \alpha}{\alpha} \cdot \frac{s}{2r} \quad (17)$$

Tej okoliczności jednak w naszym obliczeniu uwzględniać nie będziemy, przyjmując zamiast

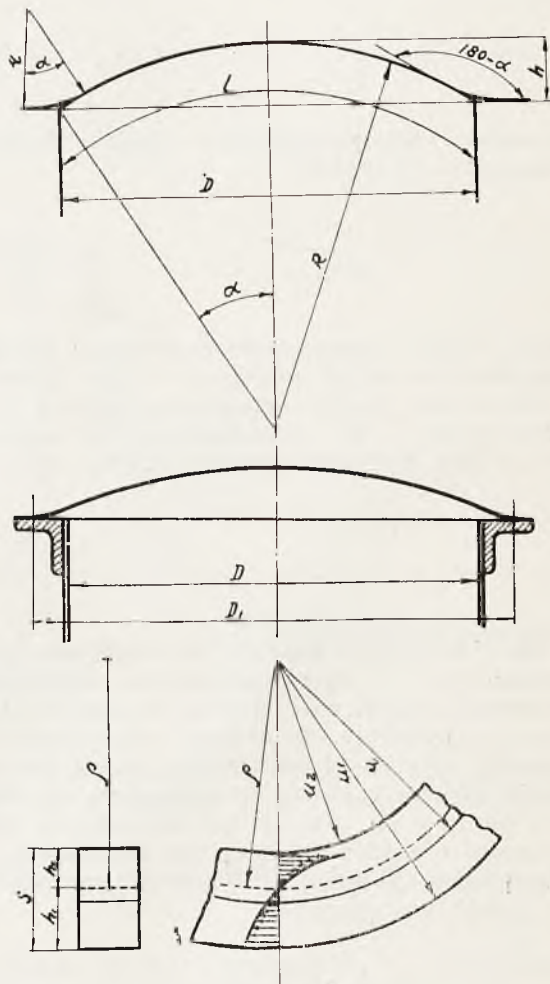
$$E_1 = \frac{E}{1 - \mu^2}, \quad E_1 = E$$

Punkty więc blachy omawianego denka do obrzeżu, w miejscu A rys. 2, poddane są rozciągającemu naprężeniu południkowemu (wzór 4 i 17)

$$\sigma_1 = \sigma + \sigma^1 \quad (18)$$

oraz naprężeniu obwodowemu powodującemu brak odkształceń w kierunku obwodowym

$$\sigma_2 = \mu \sigma_1 \quad (18a).$$



Rys. 3, 4 i 5

Naprężenie ścinające, panujące w przekroju denka przy obrzeżu, posiada średnią wartość:

$$\tau = \frac{pD}{4s} \quad (19)$$

Energja postaciowego odkształcenia sprężystego w najogólniejszym stanie napięcia wyraża się:

$$\lambda_f = \frac{1}{12 G} [(\sigma_x - \sigma_y)^2 + (\sigma_y - \sigma_z)^2 + (\sigma_z - \sigma_x)^2] + \frac{1}{2 G} (\tau_{xy}^2 + \tau_{yz}^2 + \tau_{zx}^2) \quad (20)$$

Energja zaś postaciowego odkształcenia sprężystego w przypadku zwykłego rozciągania wyraża się

$$\lambda_f = \frac{1}{6 G} \sigma^2 \quad (21)$$

Warunek wytrzymałościowy określa w tym przypadku równanie

$$\lambda_f = \frac{1}{6 G} k^2 \quad (21a)$$

gdzie k jest dopuszczalne naprężenie na rozciąganie, równe lub mniejsze od k_p — granicy plastyczności. Łącząc znakiem równości λ_f ze wzorów 20 i 21, otrzymujemy dla naszego przypadku dwuwymiarowego stanu napięcia

$$(\sigma_z = 0; \tau_{yz} = \tau_{zx} = 0,$$

$$\sigma_x^2 + \sigma_y^2 - \sigma_x \sigma_y + 3 \tau^2 = k^2 \quad (22)$$

Wzór 19 podaje średnią wartość naprężeń ścinających τ_1 nierównomiernie, aczkolwiek w sposób ciągły, rozłożonych w grubości blachy s w przekroju, do którego należy punkt A (rys. 2). Ponieważ naprężenie to tak się rozkłada iż w warstwach skrajnych (a więc i w punkcie A , rys. 2) ma ono wartość równą zeru i rośnie ku warstwie środkowej, to dla punktu A (rys. 2) wzór 22 uprości się w sposób następujący:

$$\sigma_x^2 + \sigma_y^2 - \sigma_x \sigma_y = k^2$$

czyli

$$\sqrt{\sigma_x^2 + \sigma_y^2 - \sigma_x \sigma_y} = k \quad (22a)$$

Zauważmy, iż w wielkości σ uwzględniono wszystkie elementy konstrukcyjne dna, a więc: D, R, r, s . Biorąc pod uwagę przyjęte oznaczenia we wzorze 18 i 18a wzór 22a napiszemy w postaci ostatecznej:

$$\sigma_1^2 + \sigma_2^2 - \sigma_1 \sigma_2 = k^2$$

czyli

$$\sqrt{\sigma_1^2 + \sigma_2^2 - \sigma_1 \sigma_2} = k \quad (23)$$

Ponieważ $\sigma_2 = \mu \sigma_1$ to wzór 23 dla $\mu = 0,3$ uprości się ostatecznie

$$(0,79 \sigma_1)^2 = k^2 \text{ lub } 0,88882 \sigma_1 = k$$

czyli

$$0,9 \sigma_1 \approx k \quad (24)$$

Chcąc wyżej przytoczony sposób obliczenia przedstawić w postaci wzoru ułatwiającego obliczenie, należy przestudjować funkcję (wzór 18 i 24) $\sigma_1 = \sigma + \sigma^1$, badając jej zmienność w zależności od wartości jakie przyjmują wielkości D, R, r, s, p . Wobec tego, iż funkcja

$$\sigma = \frac{p R}{2 s}$$

jest bardzo prosta, przeto zadanie sprowadza się do zbadania jak się zmienia naprężenie

$$\sigma^1 = E \cdot \frac{\Delta \alpha}{\alpha} \cdot \frac{s}{2 r}$$

co znów redukuje się do zbadania zmienności

wielkości $\frac{\Delta \alpha}{\alpha}$ w zależności od wartości

wielkości D, R, s, p względnie od wielkości D, h, σ gdyż h daje się łatwo określić przez D i R , σ zaś przez p, R, s .

Przypomina się, iż $\sigma = \frac{p R}{2 s}$ (wzór 4)

jest naprężenie rozciągające, panujące w sferycznej części denka, a

$$\sigma^1 = E \cdot \frac{\Delta \alpha}{\alpha} \cdot \frac{s}{2 r} \quad (\text{wzór 17})$$

jest dodatkowe naprężenie rozciągające od zginania w punkcie A , rys. 2.

Rozwiązując sześć równań (3a, 11, 12, 13, 14, 15) i określając $\Delta \alpha = \alpha_1 - \alpha$ otrzymujemy, podany w referacie, a w niniejszym streszczeniu opuszczony, wzór 25 na $\Delta \alpha$. Wzór 25 jest bardzo skomplikowany i nie

nadaje się do przeprowadzenia szczegółowej dyskusji, tembardziej miałyby to miejsce

z wzorem na $\frac{\Delta \alpha}{\alpha}$.

Wobec powyższego w celu otrzymania wzoru możliwie prostego w użyciu zamiast posiłkować się wzorem 25, uskuteczono sze-

reg przeliczeń dla różnych σ i $\frac{h}{D}$, aby mieć

możność szukane zależności przedstawić wykreślnie. Rezultaty obliczeń podają tablice, których się tu nie załącza.

Na rys. 6 przedstawiono σ^1 (wzór 17) w za-

leżności od $\frac{h}{D}$ zgodnie z rezultatami obliczeń

ujętych w te tablice, przy różnych σ dla

$$\frac{r}{s} = 5 \left(\text{czyli dla } \frac{s}{r} = \frac{1}{5} \right),$$

Krzywa odpowiadająca $\sigma = 100 \text{ kg/cm}$ na tym rysunku daje się w dość szerokich granicach,

a mianowicie od $\frac{h}{D} = 0,05$ do $\frac{h}{D} = 0,3$ wy-

razić bardzo dokładnie prostem równaniem

$$\sigma^1 = \frac{1,5}{\left(\frac{h}{D}\right)^2} + 2,5^1) \quad . \quad . \quad . \quad (26)$$

¹⁾ Wzór ten z mniejszą dokładnością nadaje się również i do większych rozpiętości $\frac{h}{D}$; a mianowicie

od $\frac{h}{D} = 0,02$ do $\frac{h}{D} = 0,5$ dając odchylenia od wielkości obliczonej w tablicy w obydwu skrajnych punktach na rzecz pewności obliczenia, a mianowicie przy

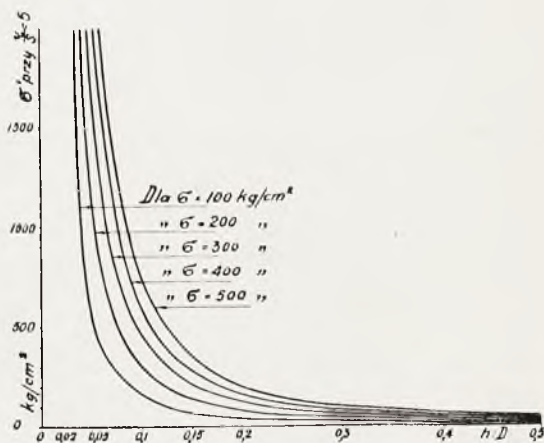
$$\frac{h}{D} = 0,02 \quad \frac{3752,5 - 3246}{3246} \cdot 100 = + 15,5\% \text{ i przy}$$

$$\frac{h}{D} = 0,5 \quad \frac{8,5 - 8}{8} \cdot 100 = + 6,25\%.$$

Poniżej załączona tabliczka Nr. 1 podaje odchylenia wielkości otrzymywanych z wzoru 26 od obliczonych (wykres rys. 6 krzywa $0 = 100 \text{ kg/cm}^2$).

Tabela Nr. 1

| | W | 0 | W — 0 | |
|---------------|-----------------|----------------------------------|---------|---------------------|
| $\frac{h}{D}$ | Według wzoru 26 | Według bezpośredniego obliczenia | Różnica | $100 \frac{W-0}{0}$ |
| 0,05 | 602,5 | 614,6 | — 12,1 | — 1,97 % |
| 0,1 | 152,5 | 150 | 2,5 | + 1,66 % |
| 0,15 | 69,16 | 69,8 | — 0,64 | — 0,915% |
| 0,2 | 40 | 40 | 0 | ± 0 % |
| 0,3 | 19,6 | 19,7 | — 0,1 | — 0,5 % |



Rys. 6

Zauważmy, co wyraźnie uwidocznione jest na wykresie rys. 6, iż naprężenia σ^1 przy

określonej wielkości $\frac{h}{D}$ zmieniają się nieomal

zupełnie proporcjonalnie do σ , wobec czego ponieważ wzór 26 daje σ^1 przy

$$\frac{s}{r} = \frac{1}{5} \text{ dla } \sigma = 100 \text{ kg/cm}^2,$$

to wyrażenie dla σ^1 , uwzględniające jakiegokol-

wiek σ przy jakimkolwiek $\frac{s}{r}$ będzie ostatecznie

$$\sigma^1 = \sigma \frac{s}{100 \cdot r} \left[\frac{7,5}{\left(\frac{h}{D}\right)^2} + 12,5 \right] \quad . \quad (27)$$

Ponieważ $\sigma_1 = \sigma + \sigma^1$ to σ , wyrazi się następującym wzorem

$$\sigma_1 = \sigma \left[1 + 0,05 \frac{s}{r} \left[\frac{1,5}{\left(\frac{h}{D}\right)^2} + 2,5 \right] \right] \quad (28)$$

Warunek wytrzymałościowy według hipotezy wyteżenia „energji odkształcenia postaciowego” zgodnie z równaniem 23 da nam ostatecznie następujący wzór do obliczania, w którym wymiary s, r, h, D wyrażone są w cm , a naprężenie w kg/cm^2

$$W = 0,9 \sigma \left[1 + 0,05 \frac{s}{r} \left[\frac{1,5}{\left(\frac{h}{D}\right)^2} + 2,5 \right] \right] \leq k \quad (29)$$

Przykład.

Naczynie rys. 1 pracujące przy ciśnieniu 5 *atn* o średnicy $D = 100 \text{ cm}$ posiada denko talerzowe, wykonane z blachy kotłowej o następujących wymiarach:

$$D = 100 \text{ cm}, R = 120 \text{ cm}, s = 2 \text{ cm}, r = 11 \text{ cm}.$$

Sprawdzić czy wytrzymałość denka jest wystarczająca.

Rozwiązanie:

Mamy bezpośrednio dodatkowe

$$\sigma = \frac{p R}{2 s} = 150 \text{ kg/cm}^2 \text{ i}$$

$$h = R - \sqrt{R^2 - \frac{D^2}{4}} = 10,913$$

Podstawiając do wzoru 29 dane, otrzymujemy

$$W = 0,9 \cdot 150 \left[1 + 0,01 \left(\frac{1,5}{0,10913^2} + 2,5 \right) \right] = 308,7 \text{ kg/cm}^2$$

które jest znacznie mniejsze od k przyjmowanego za dopuszczalne.

U w a g i:

$$\text{we wzorze 17 } \sigma^1 = E \frac{\Delta \alpha}{\alpha} \cdot \frac{s}{2 r} \text{ tkwi za-}$$

łożenie upraszczające obliczenie, iż naprężenia w zginanym wygięciu denka rozkładają się linowo a nie hiperbolicznie jak pokazano na

rys. 5. Obliczenie przy takim założeniu nieznacznie odbiega od rzeczywistości tylko przy

małym stosunku $\frac{s}{r}$; już przy $\frac{r}{s} = 5$ czyli

$$\frac{s}{r} = \frac{1}{5} \text{ skrajne naprężenia, obliczone w ten}$$

sposób nie różnią się więcej jak o 8% od skrajnych naprężeń, które daje dość uciążliwe prawidłowe obliczenie.

Zwróćmy uwagę na tę okoliczność, iż obliczając uważane za niebezpieczne miejsce A, rys. 2, w którym naprężenie rozciągające σ^1 dodaje się do naprężenia rozciągającego σ , korzystanie z uproszczonego wzoru zmierza w kierunku zapewnienia większego bezpieczeństwa, gdyż od strony wypukłej (t. j. od wewnątrz naczynia) σ^1 według uproszczonego sposobu obliczenia jest większe niż w rzeczywistości. Od strony wklęsłej (od zewnątrz naczynia) w miejscu, którego nie obliczamy, naprężenie σ^1 (ściskające) odejmuje się od naprężenia σ rozciągającego. W tem miejscu σ^1 według uproszczonego sposobu obliczenia jest mniejsze od rzeczywistego. Chodzi więc o to, aby przy niekorzystnem ustosunkowaniu się

wielkości $\frac{r}{s}$, σ , ($-\sigma^1$) absolutna wartość wiel-

kości $-(\sigma^1 - \sigma)$ nie była większa od wielkości σ_1 otrzymanej z wzoru 28 dla żelaza i od 1,5 tej wartości dla stali lanej. Żelazu kotłowemu, bowiem, przypisujemy jednakowe dopuszczalne naprężenia w przypadku rozciągania i ściskania, stali zaś lanej przy omawianym sposobie obciążenia dla ściskania o 50% większe niż dla rozciągania.

Ogólnie oznaczając przez p procent σ^1 , który należy dodać do obliczonego σ^1 (z wzoru 27), aby otrzymać wielkość absolutną ciśnienia od strony wklęsłej, otrzymujemy

$$W = 0,9 \left[- \left(\sigma^1 + \frac{p \sigma^1}{100} \right) + \sigma \right] \leq k \quad (29a^1)$$

w którym σ^1 należy brać z wzoru 27, a p % z wzoru

$$p = \frac{25,34}{\left(\frac{r}{s}\right)^2} + \frac{27,86}{\left(\frac{r}{s}\right)} + 0,3 \quad (30^2)$$

Konieczność takiego sprawdzania nie będzie jednak prawdopodobnie zachodziła w znormalizowanych denkach, używanych w praktyce.

¹⁾ i ²⁾ Wzory 29a i 30, które w niniejszem streszczeniu podane są bez umotywowania, zostały w referacie wyprowadzone przez autora.

PRZYBLIŻONE OBLICZENIE ŻELIWNEGO DENKA TALERZOWEGO¹⁾

Przyjmujemy dla żeliwa i danego rodzaju obciążenia następujące dopuszczalne naprężenia: na rozciąganie $k_z = 200 \text{ kg/cm}^2$, na ściskanie $k = 600 \text{ kg/cm}^2$, na zginanie — przy uproszczonem obliczeniu, jak gdyby żeliwo podlegało prawu Hooke'a — $k_b = 1,73 \cdot k_z = \sim 350 \text{ kg/cm}^2$.

W granicach tych dopuszczalnych naprężeń przyjmujemy przeciętnie w przybliżeniu: przy rozciąganiu $E_1 = 860000 \text{ kg/cm}^2$ ²⁾, przy ścisaniu $E_2 = 870000 \text{ kg/cm}^2$ ³⁾, śred-

$$\text{nio } E = \frac{E_1 + E_2}{2} = 865000 \text{ kg/cm}^2, \mu = 0,24)$$

$$\left(G = \frac{E}{2(1 + \mu)} = \frac{865000}{2,4} = 360000 \text{ kg/cm}^2 \right).$$

Gdyby sferyczna część denka należała do naczynia całkowitego kulistego, to mielibyśmy w każdym jego punkcie w jakimkolwiek płaskim przekroju przechodzącym przez środek kuli naprężenie rozciągające:

$$\sigma = \frac{p R}{2 s} \dots \dots \dots (1)$$

Jednostkowe wydłużenie tworzącej w wierzchołku dna jest zatem równe:

$$\frac{\Delta_1 l}{l} = \frac{i}{E} (\sigma - \mu \sigma) = \frac{1}{865000} \cdot 0,8 \sigma =$$

$$= \frac{1}{1081250} \cdot \sigma \dots \dots \dots (2)$$

¹⁾ Artykuł ten jest skrótem dłuższego referatu autora. Porównać artykuł autora: „Przybliżone obliczenie denka talerzowego wykonanego z blachy kotłowej lub ze stali lanej” zamieszczony powyżej.

W artykule niniejszym użyto tych samych co tam oznaczeń.

²⁾ i ³⁾ Bach - Baumann. Elastizität und Festigkeit — 9 wydanie 1924 r. na str. 35 podaje:

$$= \frac{\sigma^{1,083}}{1338000} \text{ dla rozciągania i } = \frac{\sigma^{1,035}}{1043000} \text{ dla}$$

ściskania. Wartości jakie przybierają E_1 i E_2 przy $\sigma = 200 \text{ kg/cm}^2$ będziemy uważali jako stałe w granicach dopuszczalnych naprężeń.

⁴⁾ Tak podaje na str. 2 i innych praca Berechnung gewölbter Böden. Dr. Ing. Huldr. Keller 1922 r.

W punktach na obrzeżu (w pobliżu kołnierza) w kierunku tworzącej panuje również przeciętne naprężenie (południkowe)

$$\sigma = \frac{p R}{2 s}.$$

Naprężenie zaś obwodowe dzięki nieobecności odkształceń obwodowych równe jest

$$\mu \sigma = \mu \frac{p R}{2 s}.$$

Jednostkowe wydłużenie tworzącej na obrzeżu dna będzie więc równe:

$$\frac{\Delta_2 l}{l} = \frac{1}{E} [\sigma - \mu (\mu \sigma)] = \frac{1}{865000} \cdot 0,96 \sigma =$$

$$= \frac{1}{901042} \cdot \sigma \dots \dots \dots (3)$$

Przyjmując jako przeciętne odkształcenie jednostkowe wzdłuż całego łuku tworzącej średnią arytmetyczną z dwóch poprzednich wielkości

$$\frac{\Delta l}{l} = \frac{\Delta_1 l + \Delta_2 l}{2 l}$$

otrzymujemy

$$\frac{\Delta l}{l} = \frac{1}{983000} \sigma = \frac{1}{983000} \cdot \frac{p R}{2 s} \dots \dots (4)$$

Całkowita długość łuku l odpowiadająca części sferycznej przed odkształceniem zamieni się wówczas po odkształceniu na l_1

$$l_1 = \left(1 + \frac{\Delta l}{l} \right) l = l + \frac{l}{983000} \sigma \dots \dots (5)$$

gdzie

$$\left(\sigma = \frac{p R}{2 s} \right).$$

Przy obliczeniu naprężenia pochodzącego od zginania na obrzeżu sferycznej części dna weźmiemy pod uwagę zmniejszenie kąta $(180 - \alpha)$ pomiędzy płaskim kołnierzem i styczną do tworzącej w miejscu gdzie się zaczyna zaokrąglenie, względnie zwiększenie kąta α pomiędzy skrajnymi promieniami r przy zaokrągleniu przejścia od sferycznej do płaskiej części dna. Zmiany w kątach powstaną dzięki odkształceniu denka wskutek zwiększenia się długości l (łuku podwójnej tworzącej. Mając na uwadze, iż zależność pomiędzy wymiarami h , l i D odcinka powierzchni kulistej wyraża się równością

$$h^1 = 0,25 \sqrt{3(l^2 - D^2)} \quad (6)$$

przyjmujemy iż część sferyczna denka przyjmie po odkształceniu postać odcinka sferycznego o charakterystykach h^1 , l_1 , R_1 i D wobec czego

$$h^1 = 0,25 \sqrt{3(l_1^2 - D^2)} \quad (6a)$$

Uproszczenie to wpływa na zwiększenie pewności obliczenia.

Określając l_1 ze wzoru 5 i podstawiając do wzoru 6a otrzymujemy

$$h^1 = 0,25 \sqrt{3 \left[\left(l + \frac{\sigma}{982000} l \right)^2 - D^2 \right]} \quad (7)$$

Bacząc na to, iż R , h i D związane są równością

$$R = \frac{h}{2} + \frac{D^2}{8h} \quad (8)$$

mamy bezpośrednio:

$$R_1 = \frac{h^1}{2} + \frac{D^2}{8h^1} \quad (8a)$$

a ponieważ kąt α , który jest jednocześnie połową kąta (2α) odpowiadającego całkowitej długości l łuku o promieniu R wypukłej części dna, wyraża się w stopniach w przybliżeniu równością

$$\alpha = \frac{l}{0,034906 R} \quad (9)$$

to po odkształceniu kąt ten zamieni się na

$$\alpha_1 = \frac{l_1}{0,034906 R_1} \quad (9a)$$

Zwiększenie się kąta $\Delta\alpha = \alpha_1 - \alpha$ wywołuje powstanie dodatkowych napięć od zginania. Oznaczając odpowiednie naprężenia rozciągające od zginania w tem miejscu, któremu przypisujemy największy wysiłek (wytężenie) — przez σ^1 i uwzględniając analogiczne uproszczenia jakich dokonano we wzorach 16, 16a i 17 w cytowanym w odnośniku artykule autora: „Przybliżone obliczenie denka talerzowego, wykonanego z blachy kotłowej lub ze stali lanej“ otrzymujemy:

$$\sigma^1 = E \cdot \frac{\Delta\alpha}{\alpha} \cdot \frac{s}{2r} \quad (10)$$

Całkowite naprężenie południkowe w tem miejscu jest: $\sigma_1 = \sigma + \sigma^1$ (11)

Mamy ponadto w rozpatrywanym punkcie naprężenie obwodowe $\sigma_2 = \mu \sigma_1$ (12)

Naprężenie ścinające, panujące w przekroju denka przy obrzeżu i posiadające średnią

wartość $\tau = \frac{p D}{4 s}$ tak się w przekroju roz-

kłada, iż w warstwach skrajnych ma ono wartość równą zeru, rosnąc ku środkowi, wobec czego nie będziemy go brać pod uwagę. Za podstawę więc do obliczania żeliwnego denka talerzowego będziemy brali σ_1 i σ_2 (wzór 11 i 12).

Co się tyczy hipotezy wysiłku (wytężenia) na której oprzemy obliczenie i wyprowadzenie ostatecznego wzoru, to należy wyjaśnić, iż hipoteza energii odkształcenia postaciowego niema dla żeliwa zastosowania, gdyż jest ona jak wykazały badania laboratoryjne najodpowiedniejsza z dotychczas istniejących hipotez, tylko dla metali ujawniających wyraźną granicę plastyczności. Tej własności nie posiada żeliwo. Z istniejących oddawna hipotez wysiłku (wytężenia) żadna nie odpowiada wystarczająco doświadczeniom. To też dla żeliwa zwykle stosowana jest obecnie również jak dawniej najstarsza hipoteza wysiłku (wytężenia) zwana hipotezą największego naprężenia normalnego, czyli w naszym przypadku warunek wytrzymałościowy wyraziłoby (zgodnie z wzorem 11) równanie $\sigma_1 \leq k$ (13)

W ostatnich czasach czynione są usiłowania nad stworzeniem ogólnej hipotezy wysiłku, nadającej się nie tylko dla takich materiałów jak metale plastyczne, lecz również dla innych materiałów. Dr. inż. Włodzimierz Burzyński¹⁾ podaje taką ogólną hipotezę

¹⁾ Doktorska praca: „Studjum nad hipotezami wytężenia“. Lwów 1928 r. Nakład Akademii Nauk Technicznych.

zwaną „hipotezą zmiennej krańcowej energii odkształcenia objętościowo-postaciowego“ wyrażającą się ogólnie dla jakichkolwiek obranych kierunków osi x, y, z prostokątnego układu współrzędnych równościami:

$$\sigma_x^2 + \sigma_y^2 + \sigma_z^2 - 2v (\sigma_x \sigma_y + \sigma_y \sigma_z + \sigma_z \sigma_x) + 2(1+v)(\tau_{xy}^2 + \tau_{yz}^2 + \tau_{zx}^2) + (k_c - k_r)(\sigma_x + \sigma_y + \sigma_z) = k_c k_r \quad (14)$$

Równość ta dla osi x, y, z obranych w kierunkach naprężeń głównych $\sigma_1, \sigma_2, \sigma_3$ przyjmuje następującą postać:

$$\sigma_1^2 + \sigma_2^2 + \sigma_3^2 - 2v(\sigma_1 \sigma_2 + \sigma_2 \sigma_3 + \sigma_3 \sigma_1) + (k_c - k_r)(\sigma_1 + \sigma_2 + \sigma_3) = k_c k_r \quad (15)$$

W równościach 14 i 15 k_r, k_c i k_s oznaczają naprężenie przy zwykłym rozciąganiu, zwykłym ściskaniu i zwykłym skręcaniu (czystym ścinaniu) w materiale, będącym na granicy niebezpiecznej kolejno pod wpływem jednego, któregośkolwiek z tych naprężeń, a

$$v = \frac{k_c k_r}{2 k_s^2} - 1$$

Dla metali plastycznych jak żelazo i stal mamy

$$k_r = k_c = k \text{ i } k_s = 0,57 k \sim = \frac{k}{\sqrt{3}}$$

wobec czego

$$v = \frac{1}{2}$$

a równość przekształci się jak następuje:

$$\sigma_1^2 + \sigma_2^2 + \sigma_3^2 - \sigma_1 \sigma_2 - \sigma_2 \sigma_3 - \sigma_3 \sigma_1 = k^2$$

Równość ta jak wiadomo wyraża hipotezę energii odkształcenia postaciowego, której uogólnieniem ma być wyrażona wzorem 15 „hipoteza zmiennej krańcowej energii odkształcenia objętościowo-postaciowego“. Uważamy za właściwe przypomnieć na tem miejscu, iż dla takich materiałów jak żelazo i stal pod granicą niebezpieczną rozumie się granicę plastyczności, a dla materiałów kruchych jak żeliwo za granicę niebezpieczną przyjmujemy granicę wytrzymałości (doraźną wytrzymałość). Dla dwuwymiarowego stanu napięcia (σ_1 i $\sigma_2 = \mu \sigma_1$) równość 15 uprości się w sposób następujący:

$$\sigma_1^2 + \sigma_2^2 - 2v \sigma_1 \sigma_2 + (k_c - k_r)(\sigma_1 + \sigma_2) = k_c k_r \quad (16)$$

i wreszcie

$$(1 + \mu^2 - 2v\mu) \sigma_1^2 + (k_c - k_r)$$

$$(1 + \mu) \sigma_1 = k_c k_r \quad (16a)$$

które [dla żeliwa o następujących charakterystykach: $k_r = 1250 \text{ kg/cm}^2$ — doraźna wytrzymałość na rozerwanie, $k_c = 7500 \text{ kg/cm}^2$ — doraźna wytrzymałość na ściskanie, $k_s = 1500 \text{ kg/cm}^2$ — doraźna wytrzymałość na skręcanie (czyste ścinanie), $\mu = 0,2$, po uwzględnieniu, iż: $v = 1,08$, $k_c - k_r = 6250$, $k_c \cdot k_r = 9375000$] — daje ostatecznie następujące równanie 2 go stopnia

$$0,608 \sigma_1^2 + 7500 \sigma_1 - 9375000 = 0 \quad (16b)$$

Pierwiastki tego równania mają następujące wartości: $\sigma_1 = +1144 \text{ kg/cm}^2$ i $\sigma_1 = -13479 \text{ kg/cm}^2$. Oznaczają one w naszym przypadku jednakowego znaku przy σ_1 i $\sigma_2 = \mu \sigma_1$ iż dla żeliwa, któremu przypisujemy wyżej wyszczególnione własności, materiał na obrzeżu denka talerzowego przy rozciąganiu ($\sigma_1 > 0$) znajduje się na granicy niebezpiecznej już przy naprężeniu $\sigma_1 = 1144 \text{ kg/cm}^2$, to jest o

$$\frac{1250 - 1144}{1250} = \sim 8,5\%$$

mniejszym od doraźnej wytrzymałości na rozciąganie, a przy ściskaniu ($\sigma_1 < 0$) dopiero przy $\sigma_1 = -13479 \text{ kg/cm}^2$, to jest o

$$\frac{13479 - 7600}{7500} = \sim 80\%$$

większym od doraźnej wytrzymałości na ściskanie. W rozważanem więc przez nas zagadnieniu mielibyśmy na obrzeżu w wygięciu promieniem r (według omawianej hipotezy) warunek znajdowania się materiału na granicy niebezpiecznej od strony wypukłej (od wewnątrz naczynia) o ile rzeczywiście istniejące rozciągające naprężenie południkowe byłoby równe 1144 kg/cm^2 a od strony wklęsłej (od zewnątrz naczynia) o ile rzeczywiście istniejące południkowe naprężenie ściskające, będące różnicą naprężeń zginającego (—) i rozciągającego (+), byłoby innym razem równe 13479 kg/cm^2 . Jeżeli ze względu na to, iż mamy w skrajnych włóknach od wewnętrznej strony naczynia naprężenia rozciągające, pochodzące głównie od zginania przyjmujemy chwilowo dla przykładu jako dopuszczalne $k_z = 350$ (zamiast 200), to tem samem przyjmujemy według hipotezy największego naprężenia rozciągającego pewność

czyli stopień bezpieczeństwa przeciw osiągnięciu niebezpiecznej granicy (rozerwanie)

$$x = \frac{1250}{350} = 3,57 \approx 3,6.$$

Jeżeli jednak nowa ogólna hipoteza wysiłku (wyteżenia), mająca się stosować do żeliwa podaje jak to otrzymaliśmy wyżej, iż w przyjętym przez nas stanie napięcia już przy $\sigma_1 = 1144 \text{ kg/cm}^2$ materiał osiąga niebezpieczną granicę (rozerwania), to przyjmując $k_z = 350 \text{ kg/cm}^2$ mamy według nowej hipotezy pewność x wynoszącą mniej, a mianowicie:

$$x = \frac{1144}{350} \cdot 3,27 \approx 3,3. \text{ To też, stosując}$$

nową ogólną hipotezę wysiłku zamiast starej przy tej samej pewności x jesteśmy (gdyby wogóle można było „mierzyć ostrożność” a w szczególności gdyby można ją było mierzyć liczbą x), o

$$100 \frac{3,57 - 3,27}{3,57} =$$

$$= 100 \frac{0,3}{3,57} = 8,4\% \text{ „ostrożniejsi”}.$$

Powołując się na tę okoliczność, zastosujemy w rozpatrywanym przez nas przypadku nową hipotezę wysiłku bez obawy przed — mogącym mieć miejsce — zarzutem stosowania do obliczeń praktycznych zbyt nowej i jeszcze z mało wypróbowanej hipotezy. To też zamiast wzoru 13 mamy: $\sigma_1 = 0,916 k_z$, czyli w przybliżeniu

$$1,1 \cdot \sigma_1 = k_z \quad \dots \quad (17)$$

(k_z oznacza dopuszczalne naprężenie na zginanie).

Obliczając σ^1 wzorem przybliżonym (10) uważane za niebezpieczne miejsce denka przy obrzeżu od wewnątrz naczynia, w którym naprężenie rozciągające σ' dodaje się do naprężenia σ , mierzymy w kierunku zapewnienia większego bezpieczeństwa. Od strony wklęsłej (od zewnątrz naczynia) σ (dodatnie) odejmuje się od ujemnego σ' . Aczkolwiek w tem miejscu, pochodzące od zginania σ' (ściskanie) otrzymane według uproszczonego wzoru (10) jest mniejsze od rzeczywistego, to wobec znacznej wytrzymałości żeliwa na ściskanie (do 6 razy większej niż na rozciąganie), a tembardziej wobec zwiększenia w naszym przypadku,

zgodnie z nową ogólną hipotezą granicy niebezpiecznej na ściskanie o $\infty 80\%$ nie potrzeba sprawdzać wysiłku (wyteżenia) materiału od strony wklęsłej wygięcia, to jest od zewnątrz naczynia nawet przy najbardziej nie-

korzystnem ustosunkowaniu się wielkości $\frac{r}{s}$, σ ,

(— σ'). Nie trudno bowiem zauważyć, iż najbardziej niekorzystne warunki byłyby przy

$\sigma = 0$ i bardzo małym stosunku $\frac{r}{s}$ gdyby

w tych warunkach mogło istnieć naprężenie (— σ'), różne od zera. Nawet wówczas, jeżeli

przyjmujemy $\frac{r}{s} = 1$ i jeżeli nie będziemy brać

pod uwagę naprężenia σ odejmującego się od (— σ'), wartość absolutna rzeczywistego naprężenia ściskającego w skrajnych włóknach przy obrzeżu od zewnątrz naczynia będzie zaledwie w przybliżeniu o $53,5\%^{1)}$ większa od wartości absolutnej rozciągającego naprężenia od wewnątrz naczynia, obliczonego wzorem (10), co wobec większej wytrzymałości na ściskanie o kilkaset $\%$ od wytrzymałości na rozciąganie, praktycznie nie może budzić obawy niebezpieczeństwa, grożącego włóknom od strony wklęsłej.

W celu otrzymania wzoru obliczeniowego możliwie dogodnego w użyciu zgodnego z równaniem 17, w którymby $\sigma_1 = \sigma + \sigma^1$ było wyrażone w sposób możliwie prosty przez wielkości: D h s p , uskutecziono szereg przeli-

czeń dla różnych $\frac{h}{D}$, których tu nie podaje-

my. Dla $\sigma = 10 \text{ kg/cm}^2$ i $\frac{r}{s} = 5$ wartość dla

σ' w kg/cm^2 daje się określić bardzo dokładnie, odnośnie do powyższych założeń, w dość

szerokich granicach, a mianowicie od $\frac{h}{D} = 0,05$

do $\frac{h}{D} = 0,3$ następującym wzorem:

$$\sigma^1 = \frac{1,65}{\left(\frac{h}{D}\right)^2} + 3 \quad \dots \quad (18)$$

¹⁾ Patrz str. 245. Kurs wytrzymałości materiałów. Timoszenko-Huber 1922 r.

Załączona tabliczka podaje odchylenia wartości, otrzymanych ze wzoru 18, od obliczonych bezpośrednio.

| $\frac{h}{D}$ | W Według wzoru (24) | O Według bez- pośredniego obliczenia | W — O Różnica | $100 \frac{W-O}{O}$ |
|---------------|------------------------------|---|------------------|---------------------|
| 0,05 | 663 | 665,03419 | — 2,03449 | — 0,31 |
| 0,1 | 168 | 168,6577 | — 0,6577 | — 0,39 |
| 0,15 | 76,33 | 77,3128 | — 0,9828 | — 1,27 |
| 0,2 | 44,25 | 45,012 | — 0,7512 | — 1,66 |
| 0,3 | 21,333 | 21,37 | — 0,037 | — 0,173 |

Wzór 18 z mniejszą dokładnością nadaje się również i do większych rozpiętości

$$\frac{h}{D}, \text{ a mianowicie}$$

od $\frac{h}{D} = 0,02$ do $\frac{h}{D} = 0,5$, dając odchylenia

od wartości obliczonych w tablicy w obydwu skrajnych punktach na rzecz pewności obliczenia, a mianowicie przy

$$\frac{h}{D} = 0,02 \quad \frac{4126 - 3863,3495}{3863,3495} \cdot 100 = + 6,8\%$$

i przy

$$\frac{h}{D} = 0,5 \quad \frac{9,6 - 8,795}{8,795} \cdot 100 = + 9,16\%$$

Zważywszy na to, iż σ^1 jest proporcjonalne do wielkości $\frac{s}{r}$ i σ , wyrazimy σ^1 przy jakich-

kolwiek $\frac{s}{r}$ i σ równaniem:

$$\sigma^1 = \frac{5}{100} \cdot \frac{s}{r} \cdot \sigma \left[\frac{1,65}{\left(\frac{h}{D}\right)^2} + 3 \right] \quad (19)$$

Ponieważ $\sigma_1 = \sigma + \sigma^1$ (wzór 11) to 0 wyrazi się:

$$\sigma_1 = \sigma \left\{ 1 + 0,05 \frac{s}{r} \left[\frac{1,65}{\left(\frac{h}{D}\right)^2} + 3 \right] \right\} \quad (20)$$

Warunek wytrzymałościowy według nowej hipotezy wysiłku (wytężenia), a miano-

wicie według „hipotezy zmiennej krańcowej energii odkształcenia objętościowo-postaciowego” zgodnie z równością 17 wyrazi się ostatecznie:

$$W = 1,1 \cdot \sigma \left\{ 1 + 0,05 \frac{s}{r} \left[\frac{1,65}{\left(\frac{h}{D}\right)^2} + 3 \right] \right\} = k \quad (21)$$

U w a g a. Odnośnie dopuszczalnego naprężenia k , należy zaznaczyć co następuje: wobec tego, iż σ_1 składa się z naprężenia powstałego od rozciągania σ dla którego $k_z \leq 200$ i z naprężenia powstałego od zginania σ^1 dla którego przyjmuje się zwykle $k_b \leq 350$, to dopuszczalnemu naprężeniu k możnaby nadawać wartość $200 < k < 350$ w każdym przy-

padku inną w zależności od stosunku $\frac{\sigma}{\sigma^1}$ tak

naprzykład przy $\frac{\sigma}{\sigma^1} = 1$ jako k możnaby

przyjąć

$$\frac{200 + 350}{2} = 275.$$

Wobec tego jednak, iż 1) przy przyjętych przez nas uproszczeniach rzeczywiste naprężenia σ^1 są zawsze mniejsze od obliczanych; 2) przy

$\frac{r}{s} \geq 5$ jak to widać z tablic (tu nie załączono-

nych) mamy zawsze $\frac{\sigma^1}{\sigma} > 1,5$; 3) przy $\frac{r}{s} <$

< 5 wzrasta w dalszym ciągu na korzyść pewności wytrzymałościowej różnica naprężenia od zginania: obliczonego i rzeczywistego, proponuje się dla uproszczenia obliczenia przyjęcie stałego $k = 300 \text{ kg/cm}^2$. Wobec czego wzór 21 przyjmie ostateczną postać

$$1,1 \cdot \sigma \left\{ 1 + 0,05 \frac{s}{r} \left[\frac{1,65}{\left(\frac{h}{D}\right)^2} + 3 \right] \right\} \leq 300 \quad (21a)$$

w której naprężenia i ciśnienia są wyrażone w kg/cm^2 a wymiary w cm .

Wzory 19, 21 i 21a mogą służyć do obliczenia zwykłego, o stałej grubości, żeliwnego denka talerzowego, którego obydwie po-

wierzchnie są powierzchniami obrotowymi, lecz nie uwzględnia żadnych zaburzeń w ciągłości naprężeń, jakie powoduje obecność wszelkich nadlewów. Nadlewy takie, w których panują zwykle zmniejszone napięcia, wywołują spiętrzenie napięć w bezpośrednim swym sąsiedztwie. W szczególności zachodzi to w miejscach, gdzie materiał doznaje dużych odkształceń. Z tych też względów najniekorzystniej na rozkład napięć wpływają nadlewy w miejscu przejścia od części sferycznej do płaskiej, a najmniejsze mają one znaczenie w środku denka. To też przy zachodzącej potrzebie połączenia z denkiem rury, zaleca się wykonywanie odpowiedniego, symetrycznego względem osi nadlewu w wierzchołku dna lub też w przypadku rur małych średnic, wkręcanie ich w otwory wykonane w bocznej krawędzi kołnierza, któremu w tym celu należy zgóry nadać większy wymiar stałej grubości.

Przykład.

Naczynie zbudowane dla pracy przy ciśnieniu 7,5 atn o średnicy $D = 90$ cm, posiada denko talerzowe żeliwne o następujących wymiarach:

$D = 90$ cm, $R = 100$ cm, $s = 3$ cm, $r = 15$ cm.

Sprawdzić, czy wytrzymałość denka jest wystarczająca.

Rozwiązanie:

Mamy bezpośrednio dodatkowo

$$\sigma = \frac{pR}{2s} = 125 \text{ kg/cm}^2 \text{ i } h = R -$$

$$- \sqrt{R^2 - \frac{D^2}{4}} = 100 -$$

$$- \sqrt{10000 - 2025} = 100 - 89 = 11 \text{ cm.}$$

Podstawiając te wartości do lewej strony wzoru 27a, otrzymujemy

$$W = 1,1 \cdot 125 \left[1 + 0,05 \frac{1}{5} \left(\frac{1,65}{0,1223^2} + 3 \right) \right] = 293 \text{ kg/cm}^2,$$

a więc wysiłek materiału znajduje się w granicach dopuszczalnego $k \leq 300 \text{ kg/cm}^2$. Wytrzymałość denka będzie więc wystarczająca z zastrzeżeniem, iż próbne ciśnienie nie będzie zbyt wysokie.

Inż. Z. KLĘBOWSKI.

WZÓR DO OBLICZANIA MIEDZIANEGO DENKA TALERZOWEGO¹⁾

W niniejszym rozważaniu ma się na myśli wyłącznie kulisto-wypukłe denko miedziane o stałej grubości w części kulistej, z obrzeżem łagodnie przechodzącym w płaski kołnierz tak umocowany, iż przy odkształcaniu się denka niema ani zmiany średnicy obrzeża denka ani też nie zachodzi odginanie kołnierza.

Stosując te same oznaczenia i upraszczające założenia jak w obliczeniu denka talerzowego z żelaznej blachy kotłowej, oraz przyjmując dla blachy i odlewów miedzianych średnio:

$$E = 1070000$$

$$\mu = 0,34,$$

otrzymujemy taką drogą jak dla denka z żelaznej blachy kotłowej

$$\sigma^1 = E \cdot \frac{\Delta \alpha}{\alpha} \cdot \frac{S}{2r} \dots (1)$$

Całkowite (główne) naprężenie południkowe w tem miejscu równe jest:

$$\sigma_1 = \sigma + \sigma^1 \dots (2)$$

Prócz tego panuje tam drugie główne naprężenie — obwodowe:

$$\sigma_2 = \mu \sigma_1 \dots (3)$$

¹⁾ Porównać dwa poprzednie artykuły tegoż autora.

Warunek wytrzymałościowy według hipotezy energii odkształcenia postaciowego dla dwu-

wymiarowego stanu napięcia, określonego naprężeniami głównymi wyraża się równością:

$$\sigma_1^2 + \sigma_2^2 - \sigma_1 \sigma_2 = k^2 \quad . \quad . \quad . \quad (4)$$

czyli ostatecznie przy $\mu = 0,34$

$$0,7756 \sigma_1^2 = k^2$$

albo

$$\sqrt{0,7756} \sigma_1 = k$$

i ostatecznie

$$0,88 \sigma_1 = k \quad . \quad . \quad . \quad . \quad (5)$$

W celu otrzymania wzoru obliczeniowego możliwie dogodnego w użyciu, zgodnego z równaniem 5, w którym

$$\sigma_1 = \sigma + \sigma^1 \quad \text{a} \quad \sigma = \frac{p R}{2 s}$$

uskutecznił szereg przeliczeń dla wartości σ^1 ujętych w tablice, których się tu nie załącza.

Dla $\sigma = 100 \text{ kg/cm}^2$ i $\frac{r}{s} = 5$ wartość

dla σ^1 w kg/cm^2 daje się określić bardzo dokładnie, odnośnie do naszych, wyżej wspomnianych założeń w wystarczająco szerokich

granicach, a mianowicie od $\frac{h}{D} = 0,05$ do

$\frac{h}{D} = 0,3$ następującym wzorem

$$\sigma^1 = \frac{1,45}{\left(\frac{h}{D}\right)^2} + 2,4 \quad . \quad . \quad . \quad . \quad (6)$$

Tabela 1 podaje odchylenia wartości, otrzymanych ze wzoru 6 od obliczonych bezpośrednio

Tab. 1

| $\frac{h}{D}$ | W | O | W - O | 100 · $\frac{W - O}{O}$ |
|---------------|-----------------|-------------------------------|---------|-------------------------|
| | Według wzoru 15 | Według bezpośredn. obliczenia | Różnica | |
| 0,05 | 582,4 | 593 | - 4,6 | - 0,776 |
| 0,1 | 147,4 | 146 | + 1,4 | + 0,959 |
| 0,15 | 66,9 | 67 | - 0,1 | - 0,149 |
| 0,2 | 38,65 | 39 | - 0,35 | - 0,898 |
| 0,3 | 18,51 | 18,68 | - 0,17 | - 0,91 |

Wzór (6) z mniejszą dokładnością nadaje się również do większych rozpiętości

$\frac{h}{D}$, a mianowicie od $\frac{h}{D} = 0,02$ do $\frac{h}{D} = 0,5$

dając odchylenia od wartości obliczonych w tablicy w obydwu skrajnych punktach na rzecz pewności obliczenia, a mianowicie przy

$$\frac{h}{D} = 0,02 \quad \frac{3627,4 - 3339,857}{3339,857} \cdot 100 = + 8,62\%$$

$$\text{i przy } \frac{h}{D} = 0,5 \quad \frac{8,2 - 7,828}{7,728} \cdot 100 = + 6,12\%$$

Zważywszy na to, iż σ^1 jest proporcjonal-

ne do wielkości $\frac{s}{r}$ i σ a w dokonanych

obliczeniach przyjmowano $\frac{s}{r} = \frac{1}{5}$

i $\sigma = 100 \text{ kg/cm}^2$, możemy wyrazić σ^1 przy

jakichkolwiek $\frac{s}{r}$ i σ następującym równaniem

$$\sigma^1 = \frac{5}{100} \cdot \frac{s}{r} \cdot \sigma \left[\frac{1,45}{\left(\frac{h}{D}\right)^2} + 2,4 \right] \quad . \quad . \quad (7)$$

Ponieważ $\sigma_1 = \sigma + \sigma^1$ (wzór 2), to dla σ_1 mamy następujące wyrażenie:

$$\sigma_1 = \sigma \left\{ 1 + 0,05 \frac{s}{r} \left[\frac{1,45}{\left(\frac{h}{D}\right)^2} + 2,4 \right] \right\} \quad (8)$$

Biorąc pod uwagę wzór 5 wyrazimy zgodnie z hipotezą wysiłku „energji odkształcenia postaciowego“, warunek wytrzymałościowy ostatecznie:

$$W = 0,88 \sigma \left\{ 1 + 0,05 \frac{s}{r} \left[\frac{1,45}{\left(\frac{h}{D}\right)^2} + 2,4 \right] \right\} \leq k \quad (9)$$

We wzorze tym naprężenia i ciśnienia są wyrażone w kg/cm^2 , a wymiary w cm przyczem k należy przyjmować $k = 350 - 400 \text{ kg/cm}^2$.

Przykład.

Naczynie zbudowane dla pracy przy ciśnieniu 7 at o średnicy $D = 90 \text{ cm}$, posiada denko talerzowe tłoczone z blachy miedzianej o następujących wymiarach: $D = 90 \text{ cm}$, $R = 100 \text{ cm}$, $s = 2 \text{ cm}$, $r = 10 \text{ cm}$, sprawdzić, czy wytrzymałość denka jest wystarczająca.

Rozwiązanie.

Otrzymujemy dodatkowo bezpośrednio

$$\sigma = \frac{pR}{2s} = \frac{7 \cdot 100}{2 \cdot 2} = 165 \text{ kg/cm}^2$$

$$i h = R - \sqrt{R^2 - \frac{D^2}{4}} = 11 \text{ cm}$$

Podstawiając te wartości do lewej strony wzoru 9 otrzymujemy

$$W = 0,88 \cdot 165 \left[1 + 0,05 \frac{1}{5} \left(\frac{1,45}{0,1223} + 2,4 \right) \right] = 290 \text{ kg/cm}^2,$$

a więc wysiłek materiału przy normalnym ciśnieniu $p = 7 \text{ at}$ znajduje się w granicach dopuszczalnych $k = 350 \text{ kg/cm}^2$.

Przy bardzo małym promieniu r w stosunku do grubości s należy zginięcie zewnętrznych włókien (od strony wklęsłej) sprawdzać jak w przypadku żelaza kotłowego lub stalowego odlewu przy pomocy analogicznego wzoru, mianowicie:

$$W = 0,88 \left[- \left(\sigma^1 + \frac{p \sigma^1}{100} \right) + \sigma \right] \leq k \text{ (na ścisłowanie)} \quad (10)$$

gdzie

$$p = \frac{25,34}{\left(\frac{r}{s}\right)^2} + \frac{27,86}{\frac{r}{s}} + 0,3 \quad (11)$$

Próba wyprowadzenia ogólnego wzoru, nadającego się do przybliżonego obliczenia denka talerzowego z jakiegokolwiek materiału.

W wierzchołku denka przyjmowaliśmy jednostkowe wydłużenie tworzącej

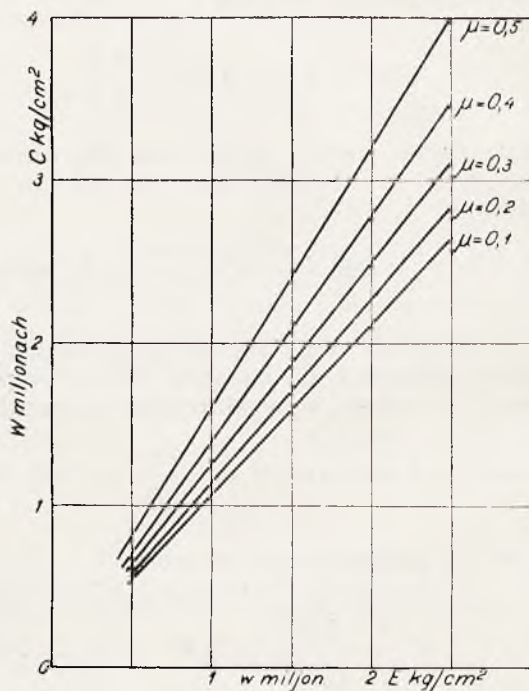
$$\frac{\Delta_1 l}{1} = \frac{(1 - \mu)}{E} \sigma = \frac{1}{A} \sigma \quad (12)$$

Jednostkowe wydłużenie tworzącej przy obrzeżu przyjmowaliśmy

$$\frac{\Delta_2 l}{1} = \frac{(i - \mu^2)}{E} \cdot \sigma = \frac{1}{B} \sigma \quad (13)$$

Jako przeciętne wydłużenie tworzącej wzdłuż całego łuku przyjmowaliśmy średnią arytmetyczną z dwóch poprzednich wielkości:

$$\begin{aligned} \frac{\Delta l}{1} &= \frac{\Delta_1 l + \Delta_2 l}{2l} = \\ &= \frac{(1 - \mu) + (i - \mu^2)}{2 \cdot E} \sigma = \frac{1}{C} \sigma \quad (14) \end{aligned}$$



Rys. 1

Wykres rys. 1 podaje przejrzyste zależności C od E i μ .

Wykres 1 pozwala na określenie stosunku $\frac{C}{E}$ w funkcji μ .

Zależność taką przedstawia wykres na rys. 2.

Krzywa ta wyraża się równaniem

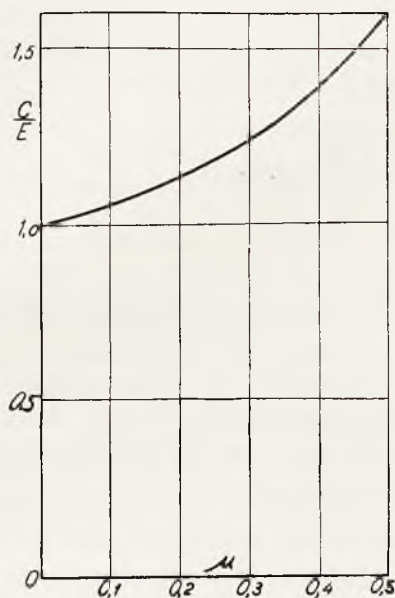
$$\frac{C}{E} = \frac{2}{2 - \mu - \mu^2} \quad (15)$$

Mamy więc:

$$C = \frac{2}{2 - \mu - \mu^2} E \quad (15a)$$

Okazuje się z wykonanych przeliczeń, iż przy każdej wartości $\frac{h}{D}$ przy jakiegokolwiek przyjętej wartości σ stosunek $\frac{\Delta \alpha}{\alpha}$ dla któ-

rychkolwiek dwóch z trzech wymienionych materiałów: (żelazo, żeliwo, miedź)—jest stały.



Rys. 2

Zupełnie dokładne obliczenie $\frac{\Delta \alpha}{\alpha}$ dla $\frac{h}{D} = 0,5$ (odpowiednie stosunki dla $\frac{h}{D}$ jakiegokolwiek są stałe) daje tabl. 2.

Tabela 2.

| | C | $\frac{\Delta \alpha}{\alpha}$ | $\frac{\alpha}{\Delta \alpha}$ | $\frac{\alpha}{\Delta \alpha}$ Jeżeli przyjąć dla żelaza $\frac{\alpha}{\Delta \alpha} = 1$ |
|--|---------|--------------------------------|--------------------------------|---|
| dla żelaza . . | 2500000 | 0,000040 | 25000 | 1 |
| „ miedzi . . | 1385000 | 0,000072233 | 13900 | 0,556 |
| „ żeliwa . . | 983000 | 0,00010169 | 9840 | 0,394 |
| dla materiału fikcyjnego ($E = 0$) | 0 | ∞ | 0 | 0,000 |

Jak się okazuje w prostokątnym układzie współrzędnych: C i $\frac{\alpha}{\Delta \alpha}$ odpowiednie pun-

kty leżą na linii prostej rys. 3. Posiłkując się nią wykreślono na rys. hiperbolę jako funkcję:

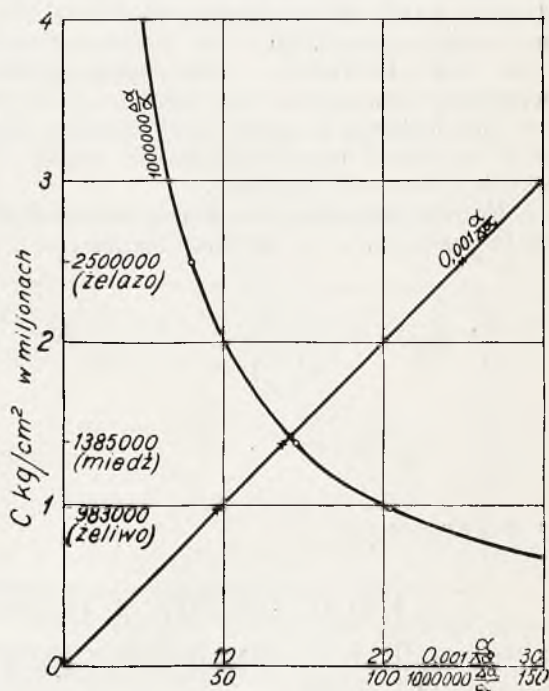
$$f\left(C, \frac{\Delta \alpha}{\alpha}\right).$$

Na zasadzie powyższych danych wyjaśniających zależność $\frac{\Delta \alpha}{\alpha}$ bezpośrednio, a więc

pośrednio i σ^1 od własności sprężystych materiału (E i μ), możemy przeprowadzić następujące rozumowanie:

Jak ustalono na innym miejscu, dla żelaza mamy

$$\sigma^1 = \frac{5}{100} \cdot \frac{s}{r} \cdot \sigma \left[\frac{1,5}{\left(\frac{h}{D}\right)^2} + 2,5 \right] \dots 16$$



Rys. 3

Zważywszy na to, iż (wzór 1) σ^1 jest proporcjonalne do

$$E \text{ i } \frac{\Delta \alpha}{\alpha} \text{ a } \frac{\Delta \alpha}{\alpha} \text{ (wykres rys. 3)}$$

jest odwrotnie proporcjonalne do C i że dla żelaza przyjęto $C = 2500000$ i $E = 2000000$, otrzymamy wzór na σ^1 dla jakiegokolwiek materiału, uwzględniający właściwe dla tego materiału wielkości C i E mnożąc prawą stro-

nę równania 25 przez $\frac{2500000}{C}$ i $\frac{E}{2000000}$ czyli

przez wielkość oderwaną:

$$\frac{1,25 E}{C} \dots \dots \dots (17)$$

Jednak wiemy (wykres 2 i równanie 15a), iż C daje się wyrazić przez E i μ wzorem

$$C = \left(\frac{2}{2 - \mu - \mu^2} \right) E, \text{ wobec czego wielkość (17),}$$

przez którą należy pomnożyć prawą stronę równania 16 przyjmie postać

$$B = \frac{1,25 (2 - \mu - \mu^2)}{2} = 0,635 (2 - \mu - \mu^2) \quad (17a)$$

Wstawiając do wyrażenia 17a zamiast μ jego wartości dla żelaza 0,3, dla miedzi 0,34 dla żeliwa 0,2 otrzymujemy dla żelaza $B = 1$ dla miedzi $B = 0,965$, dla żeliwa $B = 1,1$ a po uwzględnieniu tych współczynników i wprowadzeniu uproszczeń otrzymujemy wzory σ_1 dla każdego z trzech przypadków, zgodnie z wzorami wyprowadzonymi każdy niezależnie jeden od drugiego.

Napiszemy więc dla jakiegokolwiek materiału wzór na σ_1 w ogólnej formie

$$\sigma_1 = B \cdot \frac{5}{100} \cdot \frac{s}{r} \cdot \sigma \left[\frac{1,5}{\left(\frac{h}{D} \right)^2} + 2,5 \right] \dots \dots (16a)$$

a

$$\sigma_1 = \left\{ 1 + B \cdot 0,05 \frac{s}{r} \left[\frac{1,5}{\left(\frac{h}{D} \right)^2} + 2,5 \right] \right\} \quad (18)$$

We wzorach tych $B = 0,625 \cdot (2 - \mu - \mu^2)$.

B jest niezależne od modułu sprężystości E .

Ostatecznie wyężenie materiału wyrazi się (wzór 2 i 9) równaniem

$$W = A \cdot \sigma \left\{ 1 + 0,05 \cdot B \frac{s}{r} \left[\frac{1,5}{\left(\frac{h}{D} \right)^2} + 2,5 \right] \right\} \leq k \quad (19)$$

w którym dla metali plastycznych jak żelazo

i miedź $A = \sqrt{1 + \mu^2} - \mu$ a dla żeliwa o przeciętnych własnościach $A = 1,1$; B zaś zgodnie ze wzorem 16a i 18 dla każdego metalu $B = 0,625 (2 - \mu - \mu^2)$.

Przyjmując w przybliżeniu $A = 1$ i $B = 1$ dla jakiegokolwiek materiału (metal) otrzymujemy ostatecznie ogólny wzór

$$W = \sigma \left\{ 1 + 0,05 \frac{s}{r} \left[\frac{1,5}{\left(\frac{h}{D} \right)^2} + 2,5 \right] \right\} \leq k \quad (19a)$$

Inż. Z. KLĘBOWSKI.

OBLICZANIE CIENKOŚCIENNYCH NACZYŃ OSŁABIONYCH OTWORAMI¹⁾

Dla cienkościennego naczynia kształtu powierzchni obrotowej o stałej grubości ścianki, poddanego działaniu stałego wewnętrznego ciśnienia, mamy dla elementu ścianki równanie równowagi

$$\frac{\sigma_1}{r} + \frac{\sigma_2}{R} = \frac{p}{g} \quad \dots \dots (1)$$

R — promień krzywizny tworzącej w cm

r — promień krzywizny przekroju uszczelnionego płaszczyzną prostopadłą do tworzącej w cm

g — stała grubość ścianki naczynia w cm

p — stałe wewnętrzne ciśnienie w kg/cm^2

¹⁾ Artykuł niniejszy jest skrótem dłuższego referatu autora pod tytułem: „Wpływ okrągłych otworów na wytrzymałość cienkościennej naczyń według hipotezy energii postaciowej (w zastosowaniu do kotłów parowych i naczyń pod ciśnieniem)*.

σ_1 i σ_2 naprężenia w kg/cm^2 skierowane według stycznej do równoleżnika (σ_1) i do tworzącej (σ_2).

Dla naczynia nieosłabionego otworami w ścianach mamy

$$\sigma_1 = \frac{p r}{2 g} \left(2 - \frac{r}{R} \right) \quad \text{i} \quad \sigma_2 = \frac{p r}{2 g} \quad (2)$$

Jeżeli rozpatrzmy prostokątny element płaski, którego jedna para krawędzi znajduje się pod kątem α do tworzącej i panujące na tych krawędziach naprężenie normalne oznaczmy przez σ_x a panujące na pozostałej parze przez σ_y to otrzymamy

$$\left. \begin{aligned} \sigma_x &= \frac{1}{2} (\sigma_1 + \sigma_2) + \frac{1}{2} (\sigma_1 - \sigma_2) \cos 2\alpha \\ \sigma_y &= \frac{1}{2} (\sigma_1 + \sigma_2) - \frac{1}{2} (\sigma_1 - \sigma_2) \cos 2\alpha \\ \tau &= \tau_{xy} = \tau_{yx} = \frac{1}{2} (\sigma_1 - \sigma_2) \sin 2\alpha \end{aligned} \right\} \quad (3)$$

Jeżeli na kierunku krawędzi, gdzie panuje naprężenie σ_x znajdują się otwory, dające względne osłabienie z_1 , a na kierunku krawędzi gdzie panuje naprężenie σ_y znajdują się otwory, powodujące osłabienie z_2 , to zamiast grupy równań 3 po dojściu do równowagi sił działających na element mamy następującą grupę równań

$$\left. \begin{aligned} \sigma_x &= \frac{1}{z_1} \left(\frac{\sigma_1 + \sigma_2}{2} + \frac{\sigma_1 - \sigma_2}{2} \cos 2\alpha \right) \\ \sigma_y &= \frac{1}{z_2} \left(\frac{\sigma_1 + \sigma_2}{2} - \frac{\sigma_1 - \sigma_2}{2} \cos 2\alpha \right) \\ \tau &= \tau_{xy} = \tau_{yx} = \frac{1}{z} \left(\frac{\sigma_1 - \sigma_2}{2} \sin 2\alpha \right); \end{aligned} \right\} \quad (4)$$

gdzie $z = \frac{2 z_1 z_2}{z_1 + z_2}$

Warunek wytrzymałościowy według hipotezy energii postaciowej dla dwuwymiarowego stanu napęcia przy stopniu pewności n wyraża się

$$\sigma_x^2 + \sigma_y^2 - \sigma_x \sigma_y + 3 \tau^2 = k^2 \quad (5)$$

gdzie

$$k = \frac{K p}{n}$$

jest mniejsze od granicy plastyczności.

Uwzględniając w równości (5) wyrażenia (2) i (4), otrzymujemy:

$$\left. \begin{aligned} \sigma_x &= \frac{1}{z_1} \left[\frac{p r}{4 g} \left(3 - \frac{r}{R} \right) + \frac{p r}{4 g} \left(1 - \frac{r}{R} \right) \cos 2\alpha \right] \\ \sigma_y &= \frac{1}{z_2} \left[\frac{p r}{4 g} \left(3 - \frac{r}{R} \right) - \frac{p r}{4 g} \left(1 - \frac{r}{R} \right) \cos 2\alpha \right] \\ \tau &= \frac{1}{z} \left[\frac{p r}{4 g} \left(1 - \frac{r}{R} \right) \sin 2\alpha \right]; \text{ gdzie } z = \frac{2 z_1 z_2}{z_1 + z_2} \end{aligned} \right\} \quad (6)$$

Podstawiając do równości (5) wartości naprężeń σ_x , σ_y , τ , określone równościami (6), otrzymujemy warunek wytrzymałościowy naczynia w punkcie przecięcia się osi dwóch par otworów pod kątem nieznacznie odbiegającym od prostego, a mianowicie:

$$\left(\frac{p r}{4 g} \right)^2 \cdot \left(1 - \frac{r}{R} \right)^2 \frac{1}{z_1^2 z_2^2} \left[\left(\frac{3 R - r}{R - r} \right)^2 (z_1^2 + z_2^2 - z_1 z_2) + 2 \cdot \frac{3 R - r}{R - r} \cdot \cos 2\alpha (z_2^2 - z_1^2) + \cos^2 2\alpha (z_1^2 + z_2^2 + z_1 z_2) + \frac{3}{4} \sin^2 2\alpha (z_1^2 + z_2^2 + 2 z_1 z_2) \right] = k^2 \quad (7)$$

We wzorze tym α oznacza kąt, jaki tworzy w rozpatrywanym punkcie z przekrojem południkowym płaski, normalny do powierzchni przekrój uskuteczniiony przez środki dwóch otworów, powodujących osłabienie przekroju z_1 , przy czym $z_1 < z_2$. Zastępując w równaniu 7 wyrażenie

$$z_1^2 + z_2^2 + 2 z_1 z_2 \text{ przez } \frac{3}{4} (z_1^2 + z_2^2 + z_1 z_2)$$

otrzymujemy zamiast równości (7) znacznie prostszą, a mianowicie:

$$\left(\frac{p r}{2 g} \right)^2 \cdot \left(\frac{R - r}{2 R z_1 z_2} \right)^2 \cdot \left[\left(\frac{3 R - r}{R - r} \right)^2 \cdot (z_1^2 + z_2^2 - z_1 z_2) + 2 \cdot \frac{3 R - r}{R - r} \cdot (z_2^2 - z_1^2) \cos 2\alpha + (z_1^2 + z_2^2 + z_1 z_2) \right] = k^2 \quad (8)$$

Wzór (8) jest ogólny dla cienkościennego naczynia o kształcie jakiegokolwiek powierzchni obrotowej, której tworząca posiada krzywiznę zmieniającą się w sposób ciągły.

Jak — we wspomnianym na początku referacie — wykazano, takie uproszczenie nie pociąga za sobą nieznaczny, nie mający praktycznego znaczenia, błąd na korzyść wytrzymałości i dla cylindrycznej powierzchni nie przekracza nigdy + 0,65%.

Dla praktyki mogą mieć znaczenie następujące powierzchnie: 1) kulista, 2) stożkowa, a nadewszystko 3) cylindryczna.

1. *Powierzchnia kulista.* $R = r$ Wzór 8 przybiera postać.

$$\left(\frac{p R}{2 g} \right)^2 \frac{z_1^2 + z_2^2 - z_1 z_2}{z_1^2 z_2^2} = k^2 \quad (9)$$

Dla jedyne go rzędu otworów $z_1 = z, z_2 = 1$ mamy

$$\left(\frac{pR}{2g}\right)^2 \frac{z^2 + 1 - z}{z^2} = k^2 \quad (9a)$$

Wreszcie przy pełnej blasze $z_1 = z_2 = 1$ otrzymujemy

$$\frac{pR}{2g} = k \quad (9b)$$

2. *Powierzchnia stożka obrotowego* (o kącie wierzchołkowym 2β). $R = \infty, r = l \operatorname{tg} \beta$, gdzie l jest odległością rozpatrywanego punktu od wierzchołka stożka.

$$\left(\frac{p \cdot l \cdot \operatorname{tg} \beta}{2g}\right)^2; \frac{1}{4z_1^2 z_2^2} [10(z_1^2 + z_2^2) - 8z_1 z_2 + 6(z_2^2 - z_1^2) \cos 2\alpha] = k^2 \quad (10)$$

Dla jedyne go szeregu otworów $z_1 = z, z_2 = 1$ otrzymujemy

$$\left(\frac{p \cdot l \cdot \operatorname{tg} \beta}{2g}\right)^2 \frac{1}{4z^2} [10(z^2 + 1) - 8z + 6(1 - z^2) \cos 2\alpha] = k^2 \quad (10a)$$

Wreszcie przy pełnej blasze $z_1 = z_2 = 1$ otrzymujemy

$$\frac{p \cdot l \cdot \operatorname{tg} \beta}{1,15 \cdot g} = k \quad (10b)$$

3. *Powierzchnia cylindra obrotowego*. Przypadek płaszcza walczaka kotła.

$$R = \infty, r = \frac{D}{2}$$

$$\left(\frac{pD}{2g}\right)^2 \cdot \frac{1}{16z_1^2 z_2^2} [10[z_1^2 z_2^2] - 8(z_1 z_2) + 6(z_2^2 - z_1^2) \cos 2\alpha] = k^2 \quad (11)$$

Dla jedyne go szeregu otworów $z_1 = z, z_2 = 1$ mamy

$$\left(\frac{pD}{2g}\right)^2 \frac{1}{16z^2} [10(z^2 + 1) - 8z + 6(1 - z^2) \cos 2\alpha] = k^2 \quad (11a)$$

wreszcie dla pełnej blachy $z_1 = z_2 = 1$ otrzymujemy

$$\frac{pD}{2,3 \cdot g} = k \quad (11b)$$

We wszystkich wyżej przytoczonych wzorach ciśnienie p i naprężenie dopuszczalne k są wyrażone w kg/cm^2 . Jeżeli wyrazimy k w kg/mm^2 . Pozostawiając p wyrażone w kg/cm^2 i wymiary D i s w jakichkolwiek lecz jednokowych, jak dotychczas jednostkach, to lewe strony powyższych wzorów należy podzielić przez 100. Wtedy na przykład wzory 9a, 10a i 11a przyjmą postać:

$$\frac{pR}{200g} = k; \frac{p \cdot l \cdot \operatorname{tg} \beta}{115g} = k; \frac{pD}{230g} = k$$

Jeżeli odnośnie wzoru 11 określimy ponadto g , to otrzymamy postać wzoru dogodną do obliczenia, a mianowicie

$$g = \frac{pDx}{200K} \cdot \frac{1}{2z_1 z_2}$$

$$\cdot \sqrt{2,5(z_1^2 + z_2^2) - 2z_1 z_2 + 1,5(z_2^2 - z_1^2) \cos 2\alpha} \quad (12)$$

Uwagi: 1) wzór 12 dotyczy obliczenia mostka charakteryzowanego kątem α i osłabieniem z_1 w punkcie przecięcia się z odcinkiem t_1 odcinka t_2 , odpowiadającego osłabieniu z_2 (gdzie t_1 i t_2 są odległościami środków odnośnych otworów).

2) Niezależnie od osłabienia tego punktu, należy przy małych kątach α sprawdzić również inne punkty na tym samym mostku, a mianowicie te punkty dla których $z_2 = 1$. Jak to bowiem wykazano w referacie dla małych kątów α , a mianowicie pomiędzy 0° i 20° , wysiłek może być nieco większy w punkcie, gdzie $z_2 = 1$ niż w punkcie w którym $z_2 < 1$ przy tej samej wartości z_1 .

3) Jeżeli linia prostopadła do odcinka t_1 (o charakterystykach α i z_1), przesuwając się od jednego otworu do drugiego (w których środki łączy odcinek t_1) nie przetnie w żadnym swem położeniu jednocześnie dwóch innych otworów, to wówczas przyjmuje się: a) raz $z_2 = 1$ i b) drugi raz z_2 odpowiadające odcinkowi t_2 , przecinającemu odcinek t_1 pod kątem różnym od 90° , o ile ma to miejsce i przyjmujemy przypadek a) lub b) w zależności od tego który z nich wymaga większej grubości blachy.

OBLICZENIE PŁASZCZA GRUBOŚCIENNEGO WALCZAKA, OSŁABIONEGO OTWORAMI¹⁾

W płaszczu grubościennego walczaka kotła, w punkcie dostatecznie odległym od dennic, panują następujące naprężenia główne w funkcji promienia ρ , określającego miejsce rozpatrywanego punktu w wymiarze grubości ścianki pomiędzy wewnętrznym i zewnętrznym promieniami przekroju o długości a i b

$$\left. \begin{aligned} \sigma_1 &= p \cdot \frac{a^2 (b^2 + \rho^2)}{\rho^2 (b^2 - a^2)} = \\ &= p \cdot \frac{a^2}{b^2 - a^2} \cdot \left(1 + \frac{b^2}{\rho^2}\right) \text{ naprężenie} \\ &\quad \text{obwodowe} \\ \sigma_2 &= \frac{a^2}{b^2 - a^2} \text{ naprężenie} \\ &\quad \text{osiowe} \\ \sigma_3 &= -p \cdot \frac{a^2 (b^2 + \rho^2)}{\rho^2 (b^2 - a^2)} = \\ &= p \cdot \frac{a^2}{b^2 - a^2} \cdot \left(1 - \frac{b^2}{\rho^2}\right) \text{ naprężenie} \\ &\quad \text{radjalne} \end{aligned} \right\} (1)$$

Wchodzące w te równości wielkości wyrażone są w cm i kg/cm^2 . Jak wykazano w referacie, największy wysiłek materiału ma miejsce dla punktów na wewnętrznej powierzchni ściany walczaka, to jest przy $\rho = a$. Dla tych punktów naprężenia główne wyrażają się:

$$\left. \begin{aligned} \sigma_1 &= p \cdot \frac{b^2 + a^2}{b^2 - a^2}; \quad \sigma_2 = \\ &= p \cdot \frac{a^2}{b^2 - a^2}; \quad \sigma_3 = -p \end{aligned} \right\} (2)$$

Jeżeli teraz układ współrzędnych obierzemy tak, iż oś z będzie skierowana radialnie (ku osi cylindra), a oś y i x będą czyniły z tworzącą po kolei kąty α i $+90^\circ$ i jeżeli ponadto na kierunkach osi y i osi x będziemy mieli osłabienia z_1 i z_2 , to w punkcie znajdującym się pomiędzy parą otworów, powodującą osłabienie z_1 i jednocześnie pomiędzy drugą

parą otworów, wywołującą osłabienie z_2 , będą panowały następujące naprężenia:

$$\left. \begin{aligned} \sigma_x &= \frac{1}{2z_1} \cdot p \cdot \frac{a^2}{b^2 - a^2} \left(2 + \frac{b^2}{a^2}\right) + \\ &\quad + \frac{1}{2z_1} \cdot p \cdot \frac{b^2}{b^2 - a^2} \cdot \cos 2\alpha \\ \sigma_y &= \frac{1}{2z_2} \cdot p \cdot \frac{a^2}{b^2 - a^2} \left(2 + \frac{b^2}{a^2}\right) - \\ &\quad - \frac{1}{2z_2} \cdot p \cdot \frac{b^2}{b^2 - a^2} \cdot \cos 2\alpha \\ \sigma_z &= -p \\ \tau_{xy} &= \tau_{yx} = \frac{1}{2 \cdot z} \cdot p \cdot \frac{b^2}{b^2 - a^2} \cdot \sin 2\alpha \\ \tau_{yz} &= \tau_{zy} = 0; \quad \tau_{zx} = \tau_{xz} = 0; \\ &\quad \left(\text{gdzie } z = \frac{2z_1 z_2}{z_1 + z_2}\right) \end{aligned} \right\} (3)$$

Hipoteza energii odkształcenia postaciowego w ogólnej postaci wyraża się równością

$$\sigma_x^2 + \sigma_y^2 + \sigma_z^2 - \sigma_x \sigma_y - \sigma_y \sigma_z - \sigma_z \sigma_x + 3(\tau_{xy}^2 + \tau_{yz}^2 + \tau_{zx}^2) = k^2 \quad (4)$$

gdzie $k = \frac{K p}{x}$ oznacza dopuszczalne naprężenie

mniejsze od naprężenia na granicy plastyczności.

Podstawiając składowe napięcia wyrażone wzorami (3) do równości (4) otrzymujemy

$$\begin{aligned} &\frac{1}{z_1^2 z_2^2} \cdot \frac{p^2 b^4}{(b^2 - a^2)^2} \left[\left(\frac{a^4}{b^4} + \frac{a^2}{b^2} + \frac{1}{4} \right) (z_2^2 + \right. \\ &\quad \left. z_1^2 - z_1 z_2) + \left(\frac{a^2}{b^2} + \frac{1}{2} \right) (z_2^2 - z_1^2) \cos 2\alpha + \right. \\ &\quad \left. + \frac{1}{4} (z_1^2 + z_1^2 + z_1 z_2) \cos^2 2\alpha + \right. \end{aligned}$$

¹⁾ Artykuł niniejszy jest skrótem dłuższego referatu autora p. t.: „Obliczenie płaszcza walczaka kotła na wysokie ciśnienie“.

(Porównać artykuł autora: „Obliczenie cienkościennych naczyń osłabionych otworami“ podany wyżej).

$$\begin{aligned}
& + \frac{3}{16} (z_1^2 + z_2^2 + 2 z_1 z_2) \sin^2 2 \alpha + \\
& + \left(-\frac{a^4}{b^4} + \frac{1}{2} \cdot \frac{a^2}{b^2} + \frac{1}{2} \right) (z_1 z_2^2 + z_2 z_1^2) + \\
& + \left(-\frac{a^2}{b^2} + \frac{1}{2} \right) (z_1 z_2^2 - z_2 z_1^2) \cos 2 \alpha + \\
& + \left(\frac{a^4}{b^4} - 2 \cdot \frac{a^2}{b^2} + 1 \right) z_1^2 z_2^2 \Big] = k \quad (5)
\end{aligned}$$

Uwzględnienie we wzorze (5), iż mamy z dość dużą dokładnością

$$(z_1^2 + z_2^2 + 2 z_1 z_2) = \frac{4}{3} (z_1^2 + z_2^2 + z_1 z_2),$$

upraszczamy go nieco, a mianowicie otrzymujemy

$$\begin{aligned}
& \frac{1}{z_1^2 z_2^2} \cdot \frac{p^2 b^4}{(b^2 - a^2)^2} \Big[(z_2^2 + z_1^2) \left(\frac{a^4}{b^4} + \frac{a^2}{b^2} + \right. \\
& + \left. \frac{1}{2} \right) + (z_2^2 - z_1^2) \left(\frac{a^2}{b^2} + \frac{1}{2} \right) \cos 2 \alpha - \\
& - z_1 z_2 \left(\frac{a^4}{b^4} + \frac{a^2}{b^2} \right) + (z_1 z_2^2 + z_2 z_1^2) \left(-\frac{a^4}{b^4} + \right. \\
& + \left. \frac{1}{2} \cdot \frac{a^2}{b^2} + \frac{1}{2} \right) + (z_1 z_2^2 - z_2 z_1^2) \left(-\frac{a^2}{b^2} + \right. \\
& + \left. \frac{1}{2} \right) \cos 2 \alpha + z_1^2 z_2^2 \left(-\frac{a^2}{b^2} + 1 \right)^2 \Big] = k \quad (6)
\end{aligned}$$

Wzór 6 w porównaniu z wzorem (5) nie daje różnic, mogących mieć praktyczne znaczenie.

Dalsze uproszczenia równości (5), względnie (6), szczegółowo omówione w referacie, prowadzą o ile wyrazić k w kg/cm^2 do wzoru następującego

$$\begin{aligned}
& \frac{p}{1 - \frac{a^2}{b^2}} \cdot \frac{0,01}{z_1 z_2} \cdot \sqrt{\left(1,5 \frac{a^2}{b^2} + 1 \right) (z_1^2 + z_2^2) -} \\
& - \left(\frac{a^4}{b^4} + \frac{a^2}{b^2} \right) z_1 z_2 + 1,5 \cdot \\
& \cdot (z_2^2 - z_1^2) \cos 2 \alpha = k \quad \dots \quad (7)
\end{aligned}$$

Pan Profesor M. T. Huber w ocenie swej dla Dyrekcji Stow. Doz. Kotłó w Warszawie z dnia 20.X. 1931 r. odnośnego referatu autora, zaproponował następujące przekształcenie wzoru 7, które nie zmienia otrzymywanych wartości:

$$\begin{aligned}
& \frac{p}{b^2 - 1} \cdot \frac{b}{a} \cdot \frac{0,01}{z_1 z_2} \cdot \sqrt{\left(1,5 + \frac{b^2}{a^2} \right) (z_1^2 + z_2^2) -} \\
& - \left(1 + \frac{a^2}{b^2} \right) z_1 z_2 + 1,5 \cdot
\end{aligned}$$

$$\cdot (z_2^2 - z_1^2) \cos 2 \alpha = k \quad \dots \quad (7a)$$

Ponieważ postać omawianego wzoru 7a unikająca potęg wyższych od drugiej jest znacznie prostszą od postaci 7, a tem samem będzie łatwiejsza w użyciu, przeto zatrzymujemy się ostatecznie na wzorze 7a.

Jak wykazano w referacie uproszczony wzór 7 nie daje nigdzie odchyłków na niekorzyść pewności większych niż $-2,135\%$

$$\left(\text{przy } \frac{z_2}{z_1} = 1 \text{ i } \frac{a}{b} = 0,8 \right).$$

Na korzyść zaś pewności odchyłki wynoszą wszędzie mniej niż 10% za wyjątkiem kąta

$\alpha = 90^\circ$, przy którym dla $\frac{a}{b} = 0,8$ przy

$\frac{z_2}{z_1} = 1,8$ otrzymano $+10,45\%$ i przy $\frac{z_2}{z_1} = 2$

otrzymano $+13,675\%$.

Odnosnie $k = \frac{K}{x}$ należy zauważyć, iż przy

średniej temperaturze ścianki kotła $\geq 300^\circ \text{C}$, wielkość K winna odpowiadać wytrzymałości trwałej (granicy pełzania), a nie granicy plastyczności.

Końcowe uwagi odnośnie osłabienia z_2 przy małym kącie α oraz w przypadku przecinania się osi dwóch par osłabień pod kątem znacznie różniącym się od kąta prostego podane na zakończenie w artykule: „Obliczenie cienkościennych naczyń osłabionych otworami”, stosują się również i do obliczania grubościennego płaszcza.

Łatwo zauważyć, iż w przypadku cienkościennego płaszcza walczaka, uwzględniając we wzorze 7 względnie 7a

$$b \approx a \approx \frac{D}{2}$$

$$\left(a \text{ więc } b^2 = \frac{D^2}{4}, b + a = D \right)$$

oraz

$$b - a = g \text{ i } \frac{a^2}{b^2} = \frac{a_1}{b_1} = 1$$

otrzymujemy wzór wyprowadzony w poprzednim artykule i oznaczony numerem porządkowym (12) do obliczania cienkościennego walczaka, a mianowicie

$$g = \frac{p \cdot D \cdot x}{200 \cdot K} \cdot \frac{1}{2 z_1 z_2}$$

$$\sqrt{2.5(z_1^2 + z_2^2) - 2z_1 z_2 + 1.5(z_2^2 - z_1^2) \cos 2\alpha}$$

Inż. Z. KLĘBOWSKI.

KRYTYKA SPOSOBÓW UWZGLĘDNIENIA WPŁYWU OTWORÓW NA WYTRZYMAŁOŚĆ NACZYŃ POD CIŚNIENIEM¹⁾

1. Cienkościennie naczynie.

Nieznane są autorowi prace, któreby ujmowały ogólnie zagadnienie wpływu okrągłych otworów na wytrzymałość cienkościennych naczyń. Publikacyj takich zdaje się dotychczas nie było. To też wzór 7 względnie jego uproszczenie — wzór 8 w artykule (I) jest prawdopodobnie pierwszym krokiem w tym kierunku, dającym konkretne propozycje obliczenia w ogólnym przypadku powłoki kształtu powierzchni obrotowej, osłabionej siecią okrągłych otworów, o rozmieszczeniu używanem w praktyce, to jest takim, przy którym osie dwóch par otworów, odpowiadających osłabieniu z_1 i z_2 przecinają się pod kątem nieznacznie różniącym się od prostego. Natomiast na temat wpływu okrągłych otworów w cienkościennym płaszczu walczaka na jego wytrzymałość znajdujemy publikacje już z przed dwudziestu laty.

A. Najwcześniejsze ze znanych autorowi rozważań w tej dziedzinie podaje Zeitschrift für Dampfkessel und Maschinenbetrieb w dłuższym artykule: „Diagonale Nietverbindungen und Rohrlochreihen“, bez podania nazwiska autora, powołującym się natomiast na publikację: „Hartford Steam Boiler Inspection and Insurance Co”²⁾.

¹⁾ Porównać artykuły autora: „Obliczenie cienkościennych naczyń osłabionych otworami” (I), oraz „Obliczenie płaszcza grubościennego walczaka osłabionego otworami” (II).

²⁾ Zeitschrift für Dampfkessel und Maschinenbetrieb. Berlin 1909. 29. I., Nr. 5, str. 47 — 52 i 5. II, Nr. 6, str. 59 — 60.

B. W kilkanaście lat później Dr. Inż. W. Otte z Essen publikuje w Die Wärme artykuł pod tytułem „Der Schwächungskoeffizient für schräge Lochreihen bei zylindrischen Kesseln mit innerem Überdruck”¹⁾.

Praca, na którą się powołał artykuł (A) przypada prawdopodobnie na początek zainteresowania się zagadnieniem uwzględnienia wpływu otworów na wytrzymałość płaszcza walczaka. Artykuł (B) przedstawia nieco inną formę praktycznego posilkowania się opisaną metodą w artykule (A), zamieniając przytem

tablicę, podającą wartości $\varphi = \frac{2}{\cos^2 + 1}$ dla

różnych α , równie dogodnym w użyciu wykresem, podającym potrzebne do obliczenia współczynniki w zależności od α w sposób ciągły. Obydwie prace (A) i (B) biorą pod uwagę tylko naprężenie normalne (rozciągające) panujące w ukośnym przekroju, uskuteczniomym przez środki dwu sąsiednich otworów.

C. Zasadniczo różną od poprzednio wspomnianych jest metoda podana przez Katowickie Stow. Doz. Kotłów Parowych w sprawozdaniu z działalności w 1928 r. na str. 37 — 38 i oznaczona jako sposób 1. Sposób tam podany prócz naprężenia rozciągającego w ukośnym prze-

¹⁾ Die Wärme 1923. 6. VII. Nr. 27, str. 291—2.

kroju, osłabionym otworami, uwzględnić również panujące w nim naprężenie styczne, odnajdując wartość największego naprężenia głównego.

Pozostałe znane autorowi sposoby obliczenia obliczenia jako to sposób 2 i sposób 3, podane w cytowanym sprawozdaniu Stow. Doz. Kotłów w Katowicach, jak również w *Technice Ciepłej* (Nr. 11 z dn. 25 XI. 1929 r., str. 209 — 211) jedynie co do formy różnią się mniej lub więcej od traktowania sprawy w artykule A.

Przechodząc do krytyki sposobu (A), względnie (B) i C, zwróćmy uwagę na to, że przyjęty sposób uwzględnienia ukośnego rzędu otworów, nachylonego pod kątem α do tworzącej, powinien się opierać na tych samych zasadach, na jakich obliczamy rząd podłużny ($\alpha = 0$). Zachodzi więc teraz pytanie, na jakiej zasadzie, to jest według jakiej hipotezy obliczamy dotychczas płaszcz walczaka kotła.

Ogólnie istnieje mniemanie, iż obliczenie to opiera się na hipotezie największego naprężenia normalnego. Kiedy wprowadzano powszechnie do obliczeń wytrzymałościowych hipotezę największego wydłużenia, to jednak do obliczenia kotłów wyjątkowo nie wprowadzano jej. Utrwalenie się i przetrwanie dotychczas sposobu obliczenia kotłów według najstarszej hipotezy największego naprężenia normalnego, oraz niedotknięcie go przez hipotezę największego wydłużenia zawdzięcza się prawdopodobnie tej okoliczności, że w przypadkach płaszcza i dna walczaka kotła, traktowanych jako zagadnienia dwuwymiarowego stanu napięcia, najstarsza hipoteza największego naprężenia normalnego w danym punkcie (lecz nie przekroju) — daje wyniki jednakowe z nowszą, dość zgodną z doświadczeniem hipotezą (Guest'a) — największego odkształcenia postaciowego (ścinającego). — która już wcześniej od hipotezy największego wydłużenia była znana w nieco innym wydźwięku pod nazwą hip. Coulomba, będącej z nią jednoznaczna dla materiałów używanych do budowy kotłów. To też tylko analiza historycznego rozwoju wpływów i poglądów na sprawę, które w rezultacie sprawiły, iż dotychczas tak jak dawniej obliczamy kotły, może zadecydować, czy pomimo wszystko ze względu na intencję, kotły są obecnie obliczane nie według hipotezy największego naprężenia lecz według hipotezy największego odkształcenia postaciowego dającej jednakowe z pierwszą rezultaty.

Sposób A (względnie B) nie jest niczem usprawiedliwiony; wielkość, którą się tam przyjmuje do obliczenia (naprężenie normalne w przekroju) nie jest największym naprężeniem normalnym panującym w danym punkcie. Błąd pierwszego autora tego sposobu

obliczenia i następnie wszystkich, którzy za nim poszli, polega na nieogledności określenia wielkości, o którą nam chodzi (największe naprężenie normalne) ze względu na przekrój w którym materiał jest osłabiony. Należało natomiast brać pod uwagę nie sam przekrój, lecz punkt leżący w osłabionym przekroju, określając dlań największe naprężenie normalne, które ma taki kierunek, jaki jest dlań właściwy w zależności od kąta α a nie taki jaki mu próbują niejako nadać autorowi wspomnianych artykułów.

Sposób (C) Katowickiego Stow. Doz. Kotłów, określając w rozpatrywanym punkcie największe naprężenie główne w funkcji naprężenia normalnego i naprężenia ścinającego w danym przekroju, nie troszcząc się o kierunek największego naprężenia głównego w danym punkcie jest zupełnie konsekwentny odnośnie dotychczasowego obliczania płaszcza nieosłabionego otworami, jakoteż osłabionego w rzędach poprzecznych i podłużnych. Sposób (C) jest konsekwentny bez względu na to, czy historycznie ustalimy że płaszcze walczaków kotłów są przez nas obecnie obliczane na zasadzie hipotezy największego naprężenia rozciągającego, czy też — największego odkształcenia ścinającego.

Jednak obydwie wspomniane tu hipotezy uznane już zostały jako ujmujące te zjawiska w sposób niewystarczający. Żaden z wyszczególnionych sposobów nie uwzględnia wszystkich towarzyszących okoliczności jak na przykład wpływu na wysiłek materiału otworów w szeregach przecinających rozpatrywaną podziałkę. Wszechstronne ujęcie zjawiska wysiłku może być dokonane jedynie na zasadzie hipotezy, biorącej pod uwagę całokształt napięć w rozpatrywanym punkcie, a więc 6 składowych napięć: $\sigma_x, \sigma_y, \sigma_z, \tau_{xy}, \tau_{yz}, \tau_{zx}$, w ogólnym stanie napięcia lub 3 składowe $\sigma_x, \sigma_y, \tau_{xy}$ w dwuwymiarowym stanie napięcia (płaskim). Hipoteza taka winna opierać obliczenie na funkcji naprężeń, która jest niezależna od kierunków rozpatrywanych naprężeń.

Hipotezą odpowiadającą tym wymaganiom i sprawdzającą się bardzo dokładnie dla materiałów używanych do budowy kotłów jak stal walcowana (żelazo kotłowe) i miedź jest „hipoteza energii odkształcenia postaciowego”. Według tej hipotezy płaszcz walczaka bez osłabienia należy obliczać nie wzorem

$$\frac{p D}{200 g} \leq k, \text{ lecz wzorem } \frac{p \cdot D}{230 g} \leq k.$$

Zdaje się iż autor niniejszego pierwszy podjął krytykę sposobu obliczenia A (względnie B) w *Technice Ciepłej* (Wpływ okrągłych otworów na wytrzymałość walczaków kotłów parowych T. C. Nr. 1 z dnia 25. I. 1931 r.)

proponując, oparty na zasadzie — dającej zgodne z doświadczenia rezultaty — hipotezy, przybliżony sposób obliczenia wystarczający dla codziennej praktyki, poparty opinią P. Prof. M. T. Hubera, umieszczoną w tym samym numerze *T. C.* Rozpatrując mianowicie dla płaszcza wzór 12 w cytowanym na początku artykułu (I) autora widzimy, iż przy $\alpha = 0$ mamy warunki ze względu na kąt α najgorsze, to samo ma miejsce ze względu na osłabienie otworami, jeżeli przy $\alpha = 0$ przyjąć $z_1 = 1$ (przy $z_1 < z_2$). To też przyjmując dla co-

dziennej praktyki wzór $\frac{p D}{230 g z} \leq k$ lub

$g = \frac{p D x}{230 g z} \leq k$ lub $g = \frac{p D x}{230 K z}$ w którym

pod $z = \frac{t-d}{t}$ rozumiemy największe osła-

bienie mostka jakkolwiek nachylonego do tworzącej, popełniamy zawsze błąd na korzyść

pewności. We wzorze tym $k = \frac{K_{pl}}{x_{pl}}$ gdzie

$x_{pl} = 2$ lub nawet 1.9. Artykuł autora (I) prócz obliczenia miejsca w płaszczu walcza osłabionego otworami, (wzór 12) podaje również sposób obliczania (wzór 8) jakiegokolwiek cienkościennego naczynia o kształcie powierzchni obrotowej, w miejscu leżącym pomiędzy dwiema parami okrągłych otworów, znajdujących się na prostych tworzących z sobą wzajemnie kąt nieznacznie odbiegający od prostego, jak to ma miejsce w praktycznych zastosowaniach.

2. Grubościenny płaszcz walczak kotła.

Z dotychczasowych sposobów uwzględnienia wpływu otworów na wytrzymałość grubościennego płaszcza walczaka znana mi jest jedynie propozycja inż. W. Seeberger'a z Berlina¹⁾. Wymieniony autor, rozpatrując trzy naprężenia główne na zewnętrznej i wewnętrznej stronie ściany cylindra, dzieli je — wszystkie trzy — przez współczynnik osłabienia φ (u nas w artykule I i II φ oznaczono przez z). To co się przedewszystkiem w pracy p. W. Seebergera rzuca w oczy, to dzielenie wyrażenia dla radialnego naprężenia przez współczynnik osłabienia. Jest to błąd logiczny, hydrostatyczne ciśnienie bowiem o jakim tu mowa, działa tylko na rzeczywiście istniejące ścianki; na miejsca ścianki, w których brak materiału, ciśnienie to nie działa. Pozostałe, istniejące części ścianki, nie odciażają od działania ciśnienia p tej części ścianki, w której są wywiercone otwory, nie są więc z powodu obecności w sąsiedztwie tych otworów więcej niż bez nich przez ciśnienie p

obciążone. Błąd tego samego typu popełnia p. W. Seeberger, obliczając z naprężeń termicznych odpowiadający im moment zginający.

Dalej autor wymienionego artykułu proponuje ostatecznie dokonywanie obliczenia na zasadzie hipotezy największego naprężenia normalnego, biorąc w ten sposób pod uwagę jedno tylko, a mianowicie największe naprężenie główne. Już oddawna jest przecież wiadome, iż na wysiłek materiału ma wpływ całokształt stanu napięcia w rozpatrywanym punkcie i jeżeli tak długo przetrwało dawne obliczenie cienkościennych płaszczy, walczaków, to zawdzięcza ono swe powodzenie okoliczności, iż przypadkowo ten sposób obliczenia cienkościennego walczaka daje rezultaty zgodne z dość poprawną hipotezą biorącą pod uwagę dwa naprężenia główne — największe i najmniejsze.

Omawiany sposób nie uwzględnia ani orientacji osi szeregu otworów, ani też nie liczy się z tem, iż rozpatrywany punkt może leżeć na skrzyżowaniu się dwóch par otworów, to jest pomiędzy osłabieniami φ_1 i φ_2 (według naszych oznaczeń z_1 i z_2). Od jakiegokolwiek z wymienionych tu niedokładności wolne są rozważania, które doprowadziły nas do wzorów (7) względnie (7a) (artykuł autora II). Daleko idącym uproszczeniem tych wzorów, gwarantującym równe lub większe bezpieczeństwo w porównaniu z nimi jest wzór

$$b - a = \frac{a}{z} \sqrt{\frac{100 \frac{K}{x}}{100 \frac{K}{x} - p \sqrt{3}}}$$

albo

$$g = \frac{D}{2z} \left[\sqrt{\frac{100 \frac{K}{x}}{100 \frac{K}{x} - 1,732 p}} - 1 \right]^{1)}$$

dla grubościennych płaszczy walczaka, odpowiadający wzorowi

$$g = \frac{p D x}{230 K z}$$

dla cienkościennych płaszczy walczaków. (K oznacza granicę plastyczności w kg/cm^2 , a „ z “ największe osłabienie; a i b wyrażono w jakichkolwiek, byleby jednakowych jednostkach).

Próby Pana W. Seeberger'a uwzględnienia napięć termicznych, nie można uznać również jako zadawalniającej. Jego rozumowanie jest błędne.

¹⁾ Höhstdruck - Steilrohrkessel. Von Dipl. Ing. W. Seeberger in Berlin-Hegel. Die Wärme Nr. 27, 4VII, 1931.

¹⁾ Przy oznaczeniach $b - a = g$, $a = \frac{D}{2} \sqrt{3} = 1,732$.

Przeprowadzimy więc na ten temat po-
bieżnie własne rozumowanie. Przypuśćmy, iż
grubościenny walczak, znajduje się w atmo-
sferze wysokiej temperatury i że na we-
wnętrznej powierzchni jego ścianki występują
wszystkie 3 termiczne naprężenia główne,
a więc S_1 — obwodowe, S_2 — osiowe, S_3 —
radjalne (to ostatnie na powierzchni ścianki
zawsze = 0). Jeżeli oznaczmy przez $A =$
 $= \sigma_1 + S_1$, $B = \sigma_2 + S_2$, $C = \sigma_3 + S_1$, to
łatwo uwidocznic iż

$$\lambda_f = A + B + C - AB - BC - CA =$$

$$= \sigma_1'^2 + \sigma_2'^2 + \sigma_3'^2 - \sigma_1 \sigma_2 - \sigma_2 \sigma_3 - \sigma_3 \sigma_1 +$$

$$+ S_1^2 + S_2^2 + S_3^2 - S_1 S_2 - S_2 S_3 - S_3 S_1 +$$

$$+ S_1 (2 \sigma_1 - \sigma_2 - \sigma_3) + S_2 (2 \sigma_2 - \sigma_3 - \sigma_1) +$$

$$+ S_3 (2 \sigma_3 - \sigma_1 - \sigma_2).$$

Uwzględniając iż dla obydwu powierzchni
ścianki naczyń $S_3 = 0$ i $S_2 = S_1 = S$
otrzymujemy

$$\lambda_f = \sigma_1'^2 + \sigma_2'^2 + \sigma_3'^2 - \sigma_1 \sigma_2 - \sigma_2 \sigma_3 - \sigma_3 \sigma_1 +$$

$$+ S^2 + S (\sigma_1 + \sigma_2 - 2 \sigma_3).$$

Biorąc pod uwagę podane w artykule (II)
wyrażenie sumy pierwszych sześciu składni-
ków lewej strony tej równości otrzymujemy:

1) Dla walczaka nie osłabionego otwo-
rami

$$\sqrt{3 p^2 \frac{b^4}{(b^2 - a^2)^2} + A} = k \quad i$$

2) Dla walczaka osłabionego otworami

$$\sqrt{\left(\frac{p}{b^2 : a^2 - 1} \cdot \frac{b}{a} \cdot \frac{0,01}{z_1 z_2}\right)^2 \left[\left(1,5 + \frac{b^2}{a^2}\right) \cdot \right.}$$

$$\left. \cdot (z_1^2 + z_2^2) - \left(1 + \frac{a^2}{b^2}\right) z_1 z_2 + \right.}$$

$$\left. + 1,5 (z_2^2 - z_1^2) \cos 2 \alpha \right] + A} = k$$

We wzorach tych

$$A = \left(\frac{S}{100}\right)^2 + \frac{S}{100^2} (\sigma_1 + \sigma_2 - 2 \sigma_3) = \left(\frac{S}{100}\right)^2 +$$

$$+ \frac{S \cdot p}{100^2} \left(\frac{z_1 + z_2}{2 z_1 z_2} \cdot \frac{1 + 2 \frac{a^2}{b^2}}{1 - \frac{a^2}{b^2}} + 2 \right)$$

Naprężenie termiczne S w zależności od tem-
peratury panujących na zewnętrznej i we-
wnętrznej powierzchni ściany wyprowadził
w sposób ścisły Prof. M. T. Huber w pracy:
„O natężeniach wywołanych nierównem
ogrzaniem wewnętrznej i zewnętrznej ściany
rury“ (Czasop. Techn. 1906 r.).

Według tej pracy dla przypadku ustalo-
nego przepływu ciepła przez ścianę rury,
oznaczając przez $S = S_1 = S_2$ i $S^1 = S_1^1 = S_2^1$
naprężenia termiczne na wewnętrznej i ze-
wnętrznej powierzchni ściany, otrzymujemy

$$S = \frac{m \cdot E}{m - 1} \alpha (t_z - t_w) \left(\frac{b^2}{b^2 - a^2} - \frac{1}{2 \ln \frac{b}{a}} \right)$$

$$S^1 = \frac{m \cdot E}{m - 1} \alpha (t_z - t_w) \left(\frac{a^2}{b^2 - a^2} - \frac{1}{2 \ln \frac{b}{a}} \right)$$

We wzorach tych α oznacza współczynnik roz-
szerzalności linijowej, t.j. stosunek przyrostu
długości Δl do tejże długości l na 1°C , \ln —lo-
garytm naturalny, E moduł sprężystości, uwa-
żany jako stały w granicach temperatur t_z i t_w .

Dr. R. Lorenz w swej późniejszej publi-
kacji (Zeitschrift des Vereins deutscher Inge-
nieure 1907. S.743), cytując w odsyłaczu pracę
Prof. Hubera, podał wzory w nieco innej
formie, gdyż po podstawieniu

$$E = \frac{2(m+1)}{m} \cdot G \quad i \quad m = \frac{10}{3}.$$

Zastosowanie tych wzorów wymaga znajomo-
ści wartości t_z i t_w w różnych przypadkach,
które należy brać z odnośnych pomiarów do-
świadczalnych¹⁾.

Wzory Prof. Hubera zostały wyprowa-
dzone, przy założeniu stałej na całym obwo-
dzie wartości $t_z - t_w$. O ile połowa walczaka
znajduje się poza spalinami, to — biorąc pod
uwagę największą różnicę temperatur $t_z - t_w$ —
należałoby tak znalezionej wartość S opatrzyć
spółczynnikiem γ mniejszym od jedności, któ-
rego wartości dotychczas bliżej nie znamy.

¹⁾ Münzinger — Berechnung und Verhalten von
Wasserrohrkesseln—Springer—Berlin 1929 (przyp. red.).

T R E Ś Ć: Z. Kłębowski, inż.: 1. Obliczenie denka z blachy kotłowej lub ze stali lanej. 2. Obliczenie denka
żeliwnego. 3. Obliczenie denka miedzianego. 4. Obliczenie cienkościennych naczyń osłabionych otworami. 5. Obli-
czenie grubościennych naczyń osłabionych otworami. 6. Ocena dotychczasowych sposobów obliczania wpływu
otworów.

SOMMAIRE: Z. Kłębowski, ing. 1. Le calcul d'un fond en tôle à chaudières ou en acier moulé. 2. Le calcul
d'un fond en fonte moulée. 3. Le calcul d'un fond en cuivre. 4. Le calcul des récipients à parois minces
affaiblis par des trous. 5. Le calcul des récipients pareils à parois épais. 6. La critique des méthodes de calcul
connues.